

6/84

وزارة التعليم والبحث العلمي

MINISTERE DE L'ENSEIGNEMENT ET DE LA RECHERCHE SCIENTIFIQUE

Tex

# ECOLE NATIONALE POLYTECHNIQUE

DEPARTEMENT : Genie Mecanique.

## PROJET DE FIN D'ETUDES

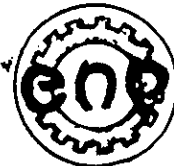
### SUJET

ETUDE D'UN AMORTISSEUR  
DYNAMIQUE POUR LABORATOIRE  
DYNAMIQUE DES MACHINES

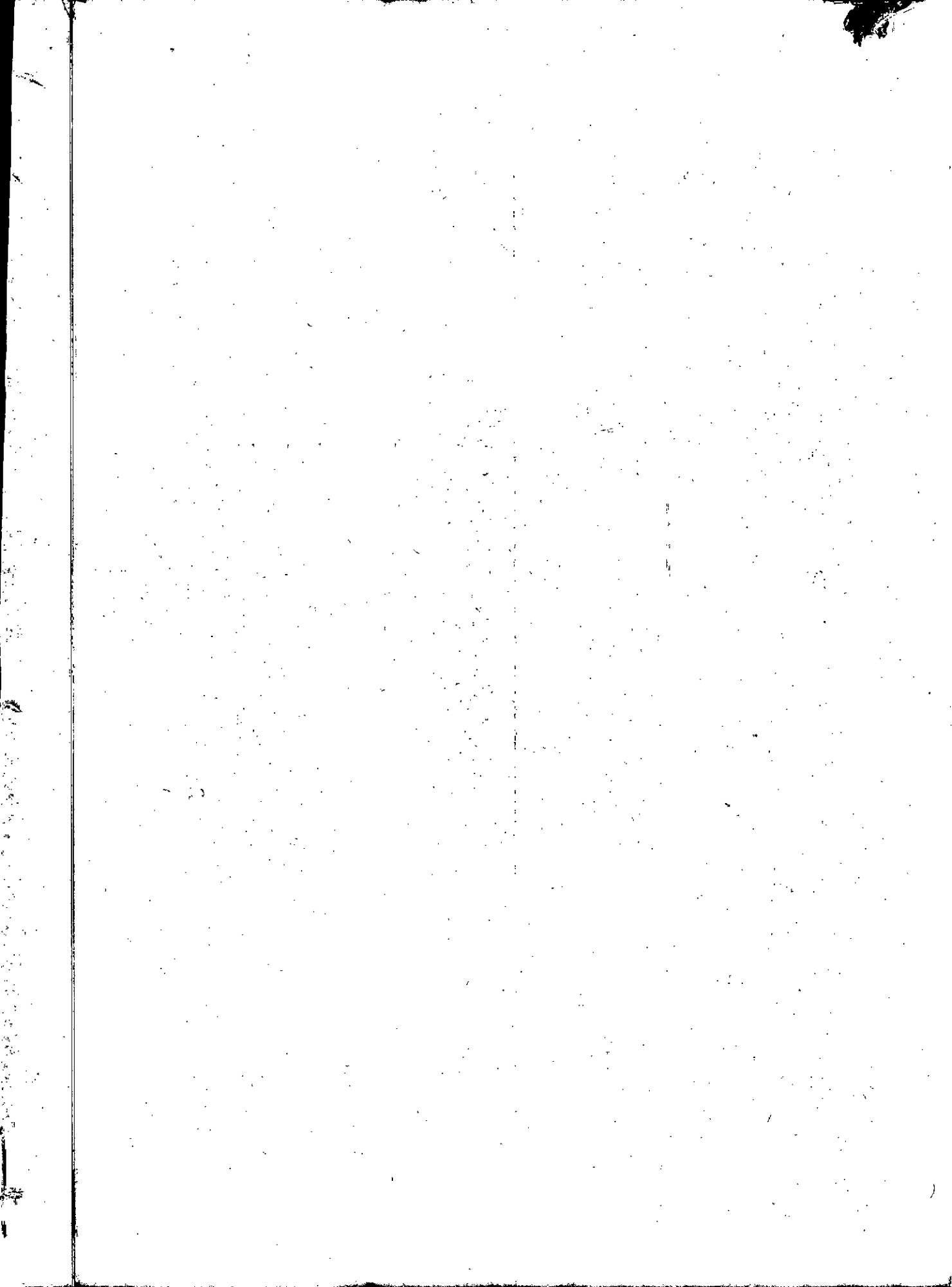
Proposé par :  
M. KSIAZEK

Etudié par :  
M. AZINE

Dirigé par :  
M. KSIAZEK



PROMOTION : JANVIER 1984



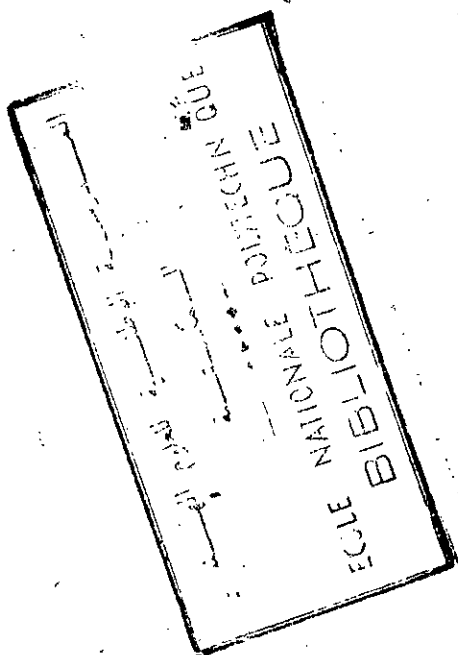
# مَدَامَةُ الْوَحْدَانِيَّةِ

وَمَا مِنْ شَيْءٍ إِلَّا فِي حَيْثُهَا  
وَمَا مِنْ شَيْءٍ إِلَّا فِي حَيْثُهَا

وَمَا مِنْ شَيْءٍ إِلَّا فِي حَيْثُهَا  
وَمَا مِنْ شَيْءٍ إِلَّا فِي حَيْثُهَا  
مَدَامَةُ الْوَحْدَانِيَّةِ

DEDICACES

- A ma mère
- A mon père
- A mes frères et soeurs
- A tous les miens
- A tous les amis



## REMERCIEMENTS

En présentant ce travail , je tiens à remercier tous ceux qui y ont contribué de près ou de loin , même de la façon la plus modeste. Je remercie en particulier M<sup>r</sup> M. KSIĄZEK pour les conseils qu'il m'a prodigué et pour le dévouement dont il a fait preuve pendant toute la durée du projet.

Je tiens aussi à remercier tous les professeurs pour tout ce que m'ont appris et tout ce que je n'ai pas pu retenir.

Mes remerciements vont à tous mes amis (es) et en particulier N.AIT MESSAOUDENE, A.AOUABED, W.NACEUR, R.DRAI, A.ZAHAF, R.BEN-CHARIF, M.DIB et tous les autres.

# TABLE DE MATIERES

	Pages
BUT DU TRAVAIL .....	1
CHAPITRE -I-	2
1. INTRODUCTION .....	2
2. GENERALITES .....	3
2.1. Notions sur les vibrations .....	3
2.1.1. Definition .....	3
2.1.2. Vibrations propres ou naturelles .....	3
2.1.3. Vibrations forcées ou entretenues .....	4
2.1.4. Degrés de libertés .....	4
2.1.5. Notion d'excitation .....	4
3. PROCEDURE D'ANALYSE DES VIBRATIONS DES LES	
MACHINES .....	4
CHAPITRE -II-	6
1. ANALYSE DYNAMIQUE D'UN SYSTEME DYNAMIQUE AVEC UN	
DEGRES DE LIBERTE .....	6
1.1. Oscillation libre .....	6
1.2. Oscillation forcée .....	7
2. ETUDE DES AMPLITUDES DE REPONSE D'UN SYSTEME DYNAMIQUE	
A UN DEGRES DE LIBERTE EN REGIME FORCE .....	9
2.1. Excitation de la forme $F = m_0 e^{i\omega t}$ .....	10
2.2. Tracer de la courbe de resonance $\alpha = f(\omega)$ ...	10
3. REMARQUES IMPORTANTES .....	13
4. ETUDE D'UN SYSTEME MECANIQUE A DEUX DEGRES DE LIBERTE..	13

CHAPITRE -III-	16
1. PRINCIPES D'AMORTISSEUR DYNAMIQUE OU ABSORBEUR DE VIBRATION DYNAMIQUE	16
2. EXEMPLES D'AMORTISSEURS DE VIBRATION DYNAMIQUE	15
3. REUDE D'UN ABSORBEUR DE VIBRATIONS DYNAMIQUES TRANSVERSALES	20
3.1. Absorbeur de vibrations dynamiques sans amortisseur ;	20
3.1.1. Perturbation due à une force centrifuge	20
3.1.2. Tracer de la courbe $\lambda_1 = f(\gamma)$	21
3.1.3. Perturbation due à une force d'amplitude constante	22
3.1.4. Conclusion	22
3.2. Absorbeur de vibrations dynamiques avec amortisseur	25
3.2.1. Excitation par une force centrifuge	25
3.2.2. Tracer de la courbe $\lambda_1 = f(\gamma)$	26
3.2.3. Excitation par une force harmonique à amplitude constante	31
4. CONCLUSION	32
CHAPITRE -IV-	35
1. INTRODUCTION	35
2. CALCUL DE L'EXCENTRICITE 'e'	35
3. CALCUL DE LA MASSE REDUITE $m_0$ PAR LA METHODE DE REYLEIGH	39

3.7. Calcul de la flèche totale par la méthode de superposition .....	39
3.8. Calcul de la masse réduite par la méthode de Rayleigh .....	41
4.0. RÔLE DE LA RIGIDITÉ D'UNE POUTRE ENCASTRÉE ET DE SA MASSE RÉDUITE .....	
4.1. FONCTIONNEMENT DE L'ABSORBEUR .....	
CHAPITRE -V- .....	
4. CALCUL DE LA FRÉQUENCE PROPRE (NATURELLE) D'UNE POUTRE PAR LA MÉTHODE DES ADMÉTANCES ET COMPARAISON AVEC LE RÉSULTAT OBTENU PAR LA MÉTHODE CLASSIQUE	
4.1. INTRODUCTION .....	54
4.2. Notion d'impédance ;;; .....	54
2. CALCUL DE LA FRÉQUENCE PROPRE À LA BASE DE LA MÉTHODE DES ADMÉTANCES .....	55
2.1. Définition .....	55
2.2. Expression du déplacement .....	56
3. NOTION D'ADMÉTANCE DÉPLACEMENT .....	57
4. DÉTERMINATION DU SYSTÈME MÉCANIQUE À ÉTUDIER .....	58
5. DÉTERMINATION DE L'ADMÉTANCE GLOBALE .....	60
-DESCRIPTION DES APPAREILLAGE UTILISÉ POUR L'ÉTUDE DES VIBRATIONS ..	65
-MESURE DES VIBRATIONS ET FRÉQUENCES D'EXCITATION .....	66
ACONCLUSION .....	70



## BUT DE TRAVAIL

Le but du travail consiste à faire l'étude d'un absorbeur de vibration dynamique d'un système vibratoire.

Pour cela nous allons proposer un appareillage pour 'TP' (voir planches).

A l'aide d'un appareillage électrique, on peut mesurer des amplitudes de vibrations en fonction des fréquences d'excitation et de déterminer certains paramètres définissant l'absorbeur de vibration pour pouvoir les comparer avec ceux que nous allons établir théoriquement.

## I. INTRODUCTION

La théorie des oscillations est une vaste branche de la physique, embrassant une très large sphère de questions de mécanique, d'électrotechnique, de radio, d'électricité, d'optique, etc....

Une place particulière revient à la théorie des oscillations en vue des applications, notamment aux questions de résistance des machines et des constructions. On connaît des cas où une construction calculée avec un grand coefficient de sécurité pour une charge statique s'est rompue sous l'effort des forces périodiques relativement petites. Souvent une construction rigide et très résistante est inadéquate en présence de force variable, alors qu'une construction identique plus légère et à première vue moins résistante, supporte facilement ces efforts.

C'est pourquoi les questions d'oscillations est, en générale, le comportement des systèmes élastiques sous l'action de charges variables, exigent du constructeur une attention particulière. Car tout système qui oscille peut atteindre sa fréquence de résonance.

Le phénomène de résonance est d'une importance primordiale dans les calculs de résistance dynamique. Le fait est que dans la plupart des cas les lois de variations des forces perturbatrices ont un caractère périodique.

Ainsi, les parties mobiles mal équilibrées (balourd) d'un moteur créent des forces variables périodiques.

Un train se mouvant à vitesse constante reçoit des chocs périodiques à la jonction des rails. Les pièces des appareils installées sur des bases vibrantes (dans un avion, une voiture) reçoit des chocs à la fréquence de base vibrante. On pourrait multiplier ces exemples.

Dans ces cas, la question se pose du degré de danger des forces perturbatrices pour le fonctionnement du système élastique, donc il importe de savoir si les vibrations ne sont pas trop excessives, car elles provoquent la destruction prématurés des appareils.

## 2-GENERALITES

### 2.1. Notions sur les vibrations

#### 2.1.1 Définition

Un corps (machine) est soumis à une vibration lorsqu'il subit des oscillations périodiques alternées se traduisant lorsqu'il est suspendu élastiquement, par des oscillations plus ou moins importantes.

#### 2.1.2. Vibrations propres ou naturelles

Ce sont des vibrations qui affectent naturellement la machine lorsque, après avoir été écartée de sa position d'équilibre, elle est abandonnée à elle même.

### 2.1.3. Vibrations forcées ou entretenues

Ce sont des vibrations imposées à la machine soit par son fonctionnement interne, soit par des oscillations de son entourage.

### 2.1.4. Degrés de liberté

Le nombre de degrés de liberté est au nombre de paramètres indépendants qui fixent la position de la machine à un instant donné. Il y en a au maximum six(6) pour un corps rigide par exemple les trois(3) coordonnées du centre de gravité et les angles de rotations autour des trois(3) axes.

### 2.1.5. Notion d'excitation

Des excitations qui agissent sur un système peuvent se présenter sous différentes formes, de même les réponses du système peuvent être de même nature ou de nature différentes que celle de l'excitation.

## 3- PROCEDURE D'ANALYSE DES VIBRATIONS DANS LES MACHINES

On suppose qu'une machine présentant une source de vibration (excitateur etc...) est installée dans un milieu délicat qui nécessite la limitation des vibrations à une certaine condition (condition physiologique confort ou prend gare à la détérioration de la machine). Pour cela on doit procéder comme suit:

- Construction d'un modèle dynamique de la machine
- Evaluation des masses et rigidités des différentes parties mobiles ou fixes constituant la machine.

- Determination des equations differentielles de mouvement de la machine.
- Resolution de ces equations differentielles.
- conclusion ; dimensionnement de certaines pieces de la machine et choix de l'amortisseur ou l'absorbeur de vibrations.

## 1. ANALYSE DYNAMIQUE D'UN SYSTÈME DYNAMIQUE AVEC UN DEGRÉ DE LIBERTÉ

Soit un système dynamique à un degré de liberté représenté schématiquement sur la figure-1- qui comporte:

Une masse  $M$  qui est reliée à des assises rigides fixe  $A$  par une suspension élastique  $S$ , pouvant être assimilée, à un ensemble comportant en parallèle un ressort pur (non amorti) de rigidité  $K$  et un amortisseur purement visqueux de viscosité  $\alpha$ .

La masse  $M$  ne pouvant se déplacer que parallèlement

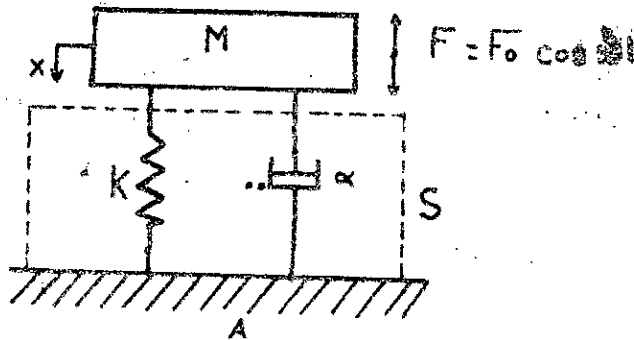


figure-1-

### 1.1. OSCILLATION LIBRE

La masse  $M$  après avoir été écartée de sa position d'équilibre, elle est abandonnée à elle-même,  $x$  étant le déplacement (c'est à dire également la déformée des support à l'instant  $t$ )

Soit:

$E_c$  = L'énergie cinétique

$E_p$  = L'énergie potentielle

$D$  = L'énergie de dissipation

$L$  =  $E_c - E_p$  : Lagrangien

Avec:

$$E_c = \frac{1}{2} m \dot{x}^2$$

$$E_p = \frac{1}{2} K x^2$$

$$D = \frac{1}{2} \alpha \dot{x}^2$$

Nous remplaçons les expressions L, D par leur valeur dans l'équation (1) nous obtenant l'équation (2)

$$\ddot{x} + \frac{K}{M} x = 0 \quad (2)$$

Nous posons:  $\omega_0 = \sqrt{\frac{K}{M}}$

$$\frac{c}{m} = 2\beta\omega_0 \quad \text{avec } \beta \text{ taux d'amortissement}$$

L'équation (2) devient:

$$\ddot{x} + 2\beta\omega_0 \dot{x} + \omega_0^2 x = 0 \quad (2')$$

L'intégration de cette équation (2') nous donne la solution:

$$x = x_0 e^{-\beta\omega_0 t} \sin(\omega_0 \sqrt{1-\beta^2} t)$$

Ils'agit d'un mouvement vibratoire amorti de pulsation propre:

$$\omega_p = \omega_0 \sqrt{1-\beta^2}$$

$$\text{avec } 0 < \beta < 1$$

## 1.2. OSCILLATION FORCEE

Nous supposons maintenant que la masse M, indépendamment de son oscillation libre qui peut se poursuivre, est sollicité par un effort périodique toujours dirigé suivant x'x, que nous supposons de la forme:  $F = F_0 \cos \omega t$

L'équation différentielle qui régit le mouvement du système est:

$$\frac{d}{dt} \left( \frac{\partial L}{\partial \dot{x}} \right) - \frac{\partial L}{\partial x} = - \frac{\partial D}{\partial \dot{x}} + F \quad (3)$$

et nous adoptons les mêmes notations que pour l'oscillation libre, nous obtenons l'équation (4)

$$\ddot{x} + 2\zeta \omega_0 \dot{x} + \omega_0^2 x = \frac{F}{m} \cos \nu t \quad (4)$$

On sait que la solution générale d'une telle équation s'obtient en ajoutant une solution particulière à la solution générale de l'équation sans second membre.

La solution particulière est de la forme:

$$x_p = A_0 e^{i\nu t}$$

Nous déterminons facilement la valeur de  $A_0$

La solution générale est:

$$x = x_0 e^{-\zeta \omega_0 t} \sin(\omega_0 \sqrt{1-\zeta^2} t) + \frac{F/m}{\sqrt{(\omega_0^2 - \nu^2)^2 + (2\zeta \omega_0 \nu)^2}} \sin(\nu t + \varphi)$$

avec  $\varphi$  le déphasage

$$\varphi = - \arctg \frac{2\zeta \omega_0 \nu}{\omega_0^2 - \nu^2}$$

L'amplitude est la somme de l'amplitude "naturelle" qui, du fait de la présence du terme exponentiel ( $e^{-\zeta \omega_0 t}$ ), tend rapidement vers zéro, et de l'amplitude de la vibration forcée

Bonc la solution est:

$$x = \frac{F/m}{\sqrt{(\omega_0^2 - \nu^2)^2 + (2\zeta \omega_0 \nu)^2}} \sin(\nu t + \varphi) \quad (5)$$



9

Cette solution sera étudiée spécialement dans les paragraphes qui suivent, suivant la forme d'excitation  $F(t)$

La considération de la seule vibration forcée suppose un régime permanent continu, il ne faut pas perdre de vue que tout choc, tout changement de régime met en route quelque instant l'oscillation naturelle avec, au départ, des amplitudes qui peuvent être plus grandes que celles de l'oscillation forcée.

Par exemple dans le cas bien connu de la suspension élastique d'un moteur de véhicule automobile, chaque fois que la voiture passe sur une inégalité de la route, ou chaque fois que le conducteur donne un coup d'accélération, l'oscillation naturelle est excitée.

## 2. ETUDE DES AMPLITUDES DE REPONSE D'UN SYSTEME DYNAMIQUE A UN DEGRE DE LIBERTE EN REGIME FORCE

Pour cette étude nous analysons trois formes d'excitation qui seront appliquées à l'étude faite précédemment

Les trois formes d'excitations harmoniques sont:

-Excitation de forme  $F = F_0 \cos \omega t$  avec  $F_0 = m_0 \varepsilon \dot{\nu}^2$

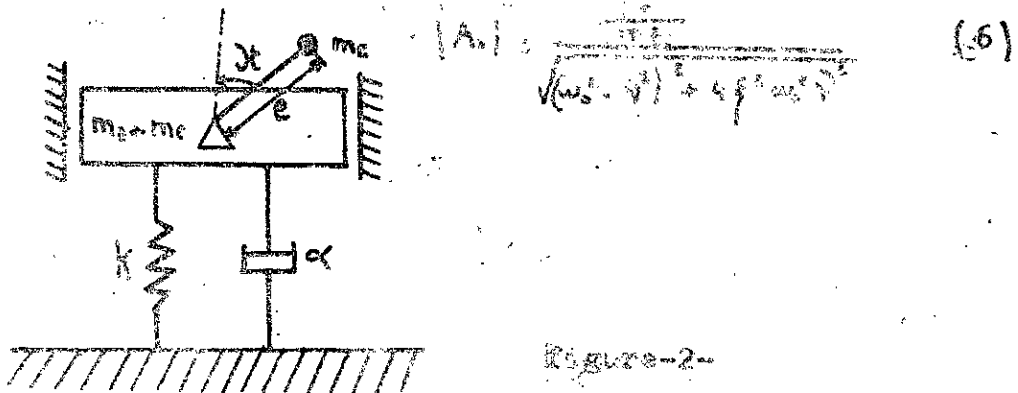
-Excitation de forme  $F = F_0 \cos \omega t$  avec  $F_0 = c \dot{\nu}$

-Excitation cinématique  $Z = Z_0 \cos \omega t$

La deuxième et troisième forme d'excitation ne seront pas étudiées spécialement mais à titre de comparaison.

## 2.1. Excitation due to a centrifugal force

The amplitude of the response of the dynamic system which has been described previously is:



$$|A_0| = \frac{m_e e \omega^2}{\sqrt{(\omega_0^2 - \gamma^2)^2 + 4\beta^2 \omega_0^2 \gamma^2}} \quad (6)$$

avec  $F = m_e e \omega^2$

d'où  $|A_0| = \frac{m_e e \omega^2}{\sqrt{(\omega_0^2 - \gamma^2)^2 + 4\beta^2 \omega_0^2 \gamma^2}} \quad (7)$

nous posons :  $\frac{m_e e}{m_0} = \mu$  ,  $\frac{\gamma}{\omega_0} = \eta$

Après ce changement de variable nous obtenons

$$a = |A_0| = \frac{\mu \eta^2}{\sqrt{(1 - \eta^2)^2 + 4\beta^2 \eta^2}}$$

## 2.2. Tracer de la courbe de résonance $a = f(\eta)$

Si  $\beta = 0$  c'est dire pas d'amortisseur on aura:

$$a = \left| \frac{\mu \eta^2}{1 - \eta^2} \right| \quad (8)$$

Dans ce cas l'amplitude croît indéfiniment

Pour  $\eta = 1 \Rightarrow \omega_0 = \gamma$  on aura une amplitude infinie donc pas d'amortissement ; on a la résonance.

Pour  $\eta \rightarrow \infty$  c'est à dire  $\gamma$  est très grand devant  $\omega_0$  dans

ce cas l'amplitude de vibration sera une valeur finie. /..

ce cas l'amplitude de vibration aura une valeur finie qui tend vers la valeur  $A = \frac{m_0 e}{m_1} \quad (\text{figure 3-})$   
 Cela signifie que lorsque une force perturbatrice de très grande fréquence agissant sur ~~le~~ ~~corps~~ vibrant, il produit des vibrations de très faibles amplitudes et dans certain cas on peut considérer le corps comme immobile dans l'espace.

Le cas où  $\xi \neq 0$  il existe un amortisseur visqueux on a :

$$a = \frac{\mu \gamma^2}{\sqrt{(1 - \gamma^2)^2 + (2\xi\gamma)^2}}$$

Dans ce cas on a deux (2) cas limite

-Pour une pulsation très faible de la force perturbatrice devant celle de la vibration naturelle, l'amplitude tend vers la valeur 0  $\left\{ \begin{array}{l} \gamma \rightarrow 0 \\ a \rightarrow 0 \end{array} \right. \quad (\gamma \ll \omega_0)$

-Le deuxième cas limite est lorsque  $\gamma$  est très grand en comparaison devant  $\omega_0$  (pulsation naturelle)  $\gamma \gg \omega_0$ .

l'amplitude tend vers une valeur limite finie qui est  $\mu$ .  
 Cela signifie que dans ces deux cas l'effet de l'amortissement n'a aucune importance pratique pour le calcul des vibrations forcées.

La courbe  $a = f(\gamma)$  passe par un maximum qui a pour valeur

$$a_{max} = \frac{\mu}{2\xi\sqrt{1-\xi^2}}$$

pour une pulsation de la force perturbatrice

$$\gamma = \frac{\omega}{\omega_0} = \sqrt{\frac{1}{1-2\xi^2}}$$

il faut que

$$\xi < \frac{\sqrt{2}}{2}$$

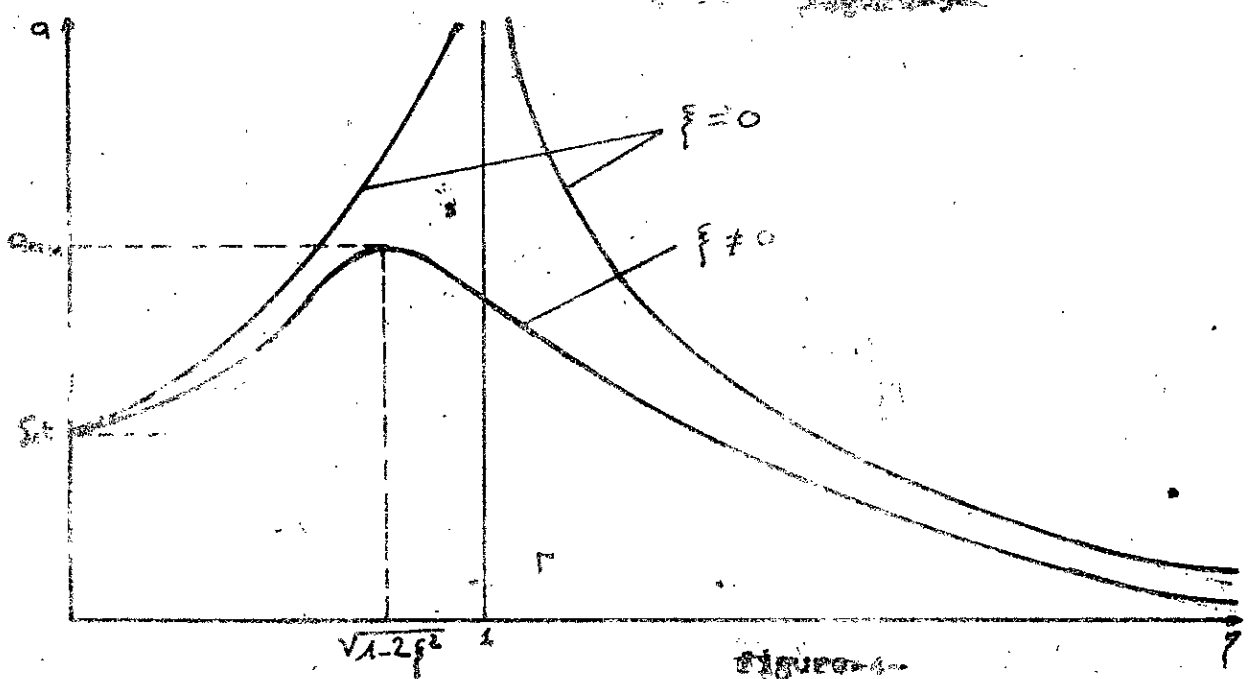
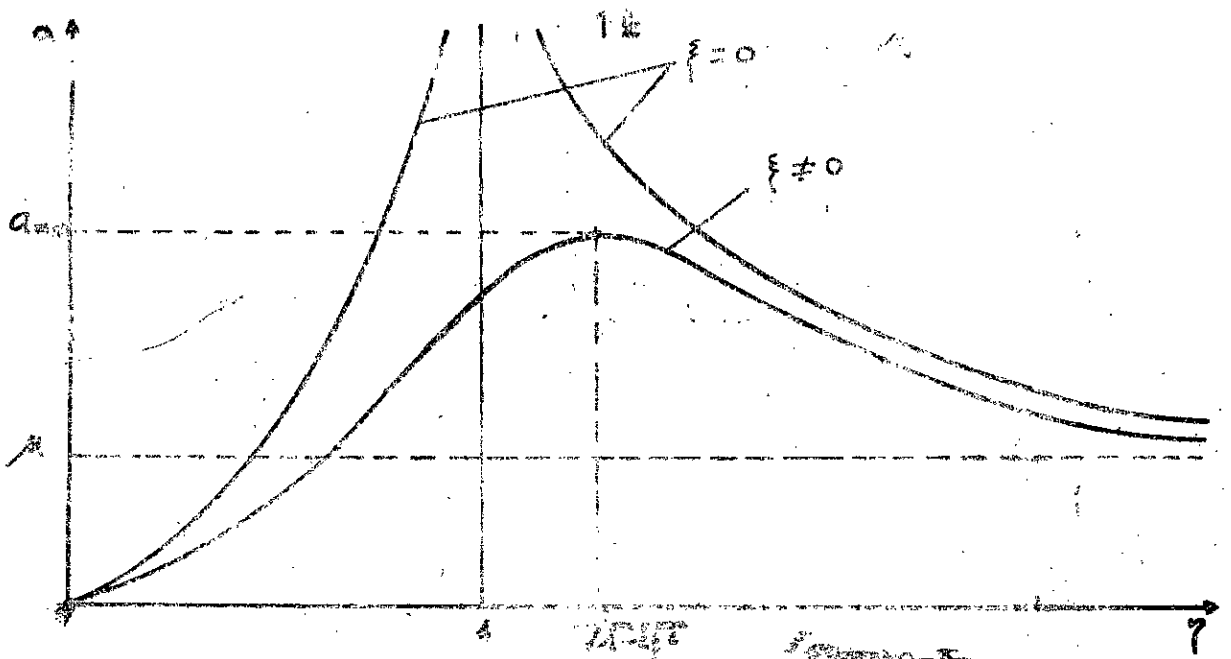


Figure-4

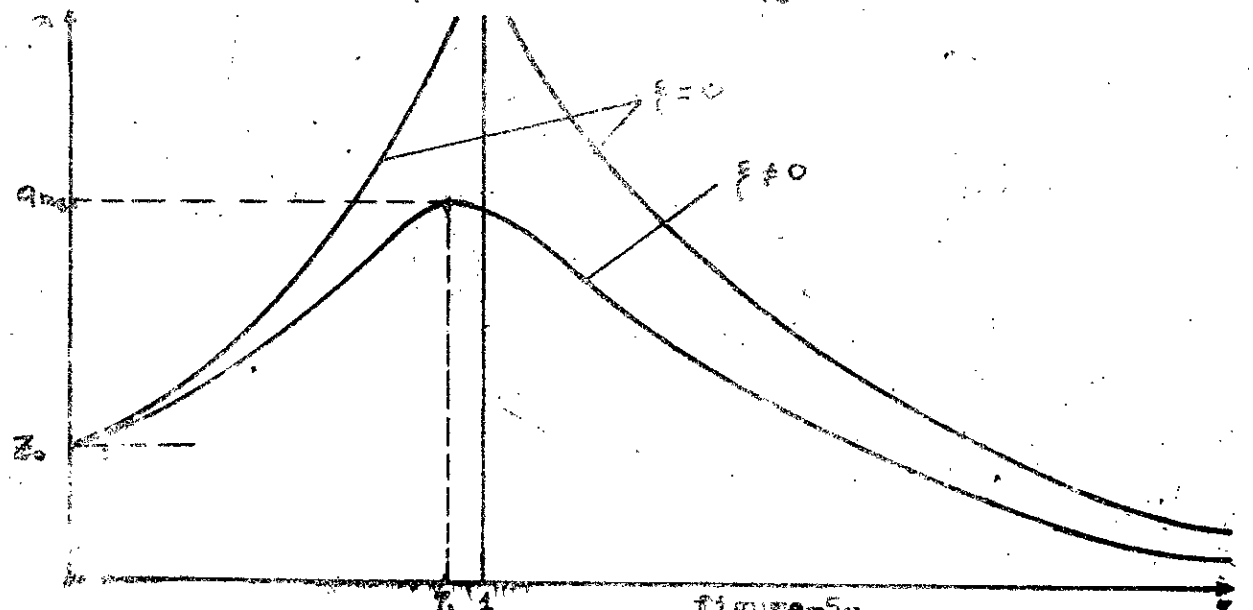


Figure-5

La figure (4) et (5) c'est pour les deux excitations qu'on a mentionné précédemment.

### 3. REMARQUE IMPORTANTE

Dans la pratique, on n'a pas nécessairement affaire à une seule valeur de  $\omega$  bien déterminée, car les machines peuvent avoir des régimes de marche variables.

Par ailleurs toutes les machines sont bien obligées de démarrer et de s'arrêter, par conséquent partant de  $\omega = 0$  pour arriver à  $\omega$ , on est bien obligé de passer par  $\omega_c$ , donc de traverser le régime critique. Il importe en premier lieu que le passage soit aussi bref que possible, n'importe comment il existe des machines qui travaillent dans la région critique.

Il faut remarquer enfin que l'étude théorique qui précède, se rapporte à un cas très schématique, celui du mouvement à un seul degré de liberté, avec une seule vibration d'excitation.

Dans la réalité, les choses sont évidemment moins simples, la machine suspendue peut se mouvoir suivant divers degrés de liberté.

### 4. ETUDE D'UN SYSTEME MECANIQUE A DEUX DEGRES DE LIBERTE

Soit le système mécanique vibratoire représenté schématiquement par la figure (6) comportant:

- Deux masses  $m_1$  et  $m_2$ ,
- Deux ressorts purs de rigidité  $k_1$  et  $k_2$ ,
- Deux amortisseurs visqueux de viscosité  $\alpha_1$  et  $\alpha_2$ .

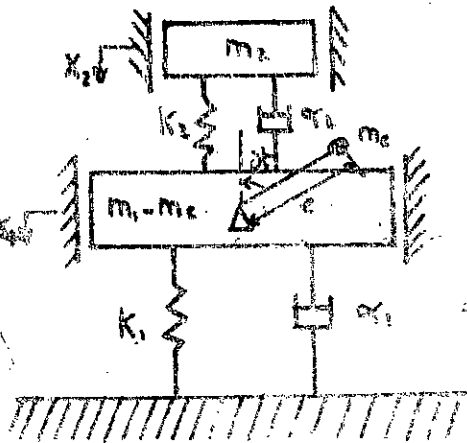


figure-6-

Nous adoptons comme coordonnées du système, les déplacements verticaux  $x_1$  et  $x_2$  des masses  $m_1$  et  $m_2$ , à partir de leur position d'équilibre statique, et considérons comme sens positif de ces déplacements la direction verticale de haut en bas.

Les expressions des énergies sont:

$$\begin{aligned} -E_c &= \frac{1}{2} m_1 \dot{x}_1^2 + \frac{1}{2} m_2 \dot{x}_2^2 \\ -E_p &= \frac{1}{2} K_1 x_1^2 + \frac{1}{2} K_2 (x_2 - x_1)^2 \\ -D &= \frac{1}{2} \alpha_1 \dot{x}_1^2 + \frac{1}{2} \alpha_2 (\dot{x}_2 - \dot{x}_1)^2 \end{aligned}$$

Les équations différentielles du système sont:

$$\begin{aligned} m_1 \ddot{x}_1 + (\alpha_1 + \alpha_2) \dot{x}_1 + (K_2 + K_1) x_1 - \alpha_2 \dot{x}_2 - K_2 x_2 &= \omega_1 \cos \nu t \\ m_2 \ddot{x}_2 + \alpha_2 \dot{x}_2 + K_2 x_2 - \alpha_2 \dot{x}_1 - K_2 x_1 &= 0 \end{aligned} \quad (9)$$

Les solutions de ce système d'équations sont de la forme:

$$\begin{aligned} x_1 &= A_1 \cos \nu t + B_1 \sin \nu t \\ x_2 &= A_2 \cos \nu t + B_2 \sin \nu t \end{aligned} \quad (10)$$

En introduisant les équations (10) dans le système d'équations (9) nous obtenons 4 inconnues d'où l'on peut déterminer les constantes  $A_1, B_1, A_2, B_2$ , facilement.

Les amplitudes de vibration pour les déplacements  $X_1$  et  $X_2$  sont données par :

$$\lambda_1 = \sqrt{A_1^2 + B_1^2} \quad ; \quad \lambda_2 = \sqrt{A_2^2 + B_2^2}$$

d'où on obtient :

$$(11) \quad \lambda_1^2 = \frac{(m_1 e \gamma^2)^2 [(K_1 - m_2 \gamma^2)^2 + \alpha_1^2 \gamma^4]}{[m_1 m_2 \gamma^4 - \gamma^2 K_2 (m_1 + m_2) - m_2 K_2 \gamma^2 - \alpha_1 \alpha_2 \gamma^2 + K_1 K_2]^2 + [K_1 \alpha_2 \gamma + K_2 \alpha_1 \gamma - m_1 \alpha_1 \gamma^3 - m_2 \alpha_2 \gamma^3 + m_2 \alpha_2 \gamma^3]^2}$$

et

$$(12) \quad \lambda_2^2 = \frac{(m_2 e \gamma^2)^2 (K_2^2 + \alpha_2^2 \gamma^2)}{[m_1 m_2 \gamma^4 - \gamma^2 K_2 (m_1 + m_2) - m_2 K_2 \gamma^2 - \alpha_1 \alpha_2 \gamma^2 + K_1 K_2]^2 + [K_1 (K_1 \alpha_2 + K_2 \alpha_1) - \gamma^2 (m_1 \alpha_1 + m_2 \alpha_2)]^2}$$

Dans notre étude, ce qui nous intéresse c'est l'amplitude de vibration forcée de la masse  $m_1$ .

Faisant un changement de variable, nous posons :

$$\beta = \frac{m_2}{m_1}, \quad \gamma = \frac{\gamma}{\omega_1}, \quad \delta = \frac{\omega_2}{\omega_1}, \quad \xi = \frac{\alpha_2 e}{2 m_2 \omega_1}, \quad \xi_1 = \frac{\alpha_1}{2 m_1 \omega_1}$$

Remplaçant ces coefficients sans dimension dans l'équation (11) nous obtenons une expression de l'amplitude  $X_1$  (13)

$$\lambda_1^2 = \frac{\gamma^4 [4 \xi_1^2 \gamma^4 + (\gamma^2 - \delta^2)^2] \left(\frac{m_2 e}{m_1}\right)^2}{4 \gamma^2 \xi_1^2 [(\gamma^2 - 1 + \beta \gamma^2) + \frac{\gamma \xi_1}{\xi_2}]^2 + [\beta \gamma^2 \delta^2 - (\gamma^2 - 1)(\gamma^2 - \delta^2) - \delta^2 \xi_1 \xi_2]^2}$$

## CHAPITRE -III-

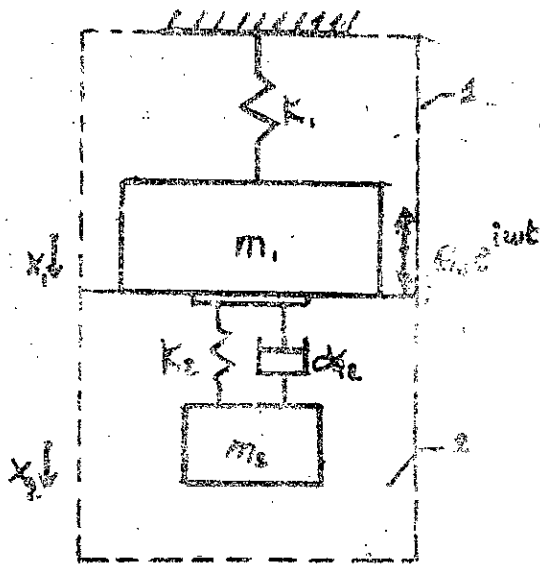
## 1. PRINCIPE D'AMORTISSEUR DYNAMIQUE OU ABSORBEUR DE VIBRATION DYNAMIQUE

Il y a évidemment un moyen simple à première vue, de supprimer ou tout simplement d'atténuer les vibrations, c'est de faire naître des vibrations antagonistes qui donnent lieu à des efforts d'inertie sensiblement égaux de sens contraire à ceux de la vibration à éliminer, c'est le principe de l'équilibrage et des (absorbeurs) dynamiques.

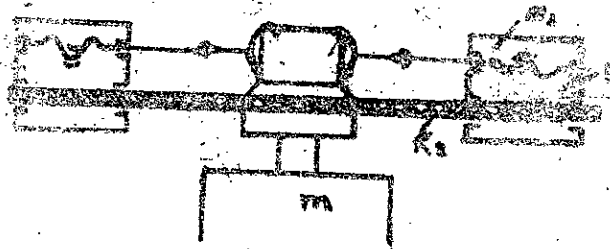
## 2. EXEMPLES D'AMORTISSEURS DE VIBRATIONS DYNAMIQUES

Tout machine présentant une source de vibration est à installer dans un milieu délicat nécessite la limitation des vibrations ( transversales, de torsions, de chocs ) donc pour cela on installe des amortisseurs (absorbeurs) de vibrations qui doivent éliminer ou atténuer ces vibrations. Il existe plusieurs types d'amortisseurs de vibrations, qui sont utilisés suivant les conditions de fonctionnements et suivant les vibrations à éliminer. On trouve des éliminateurs de vibrations transversales, de torsions, de chocs.

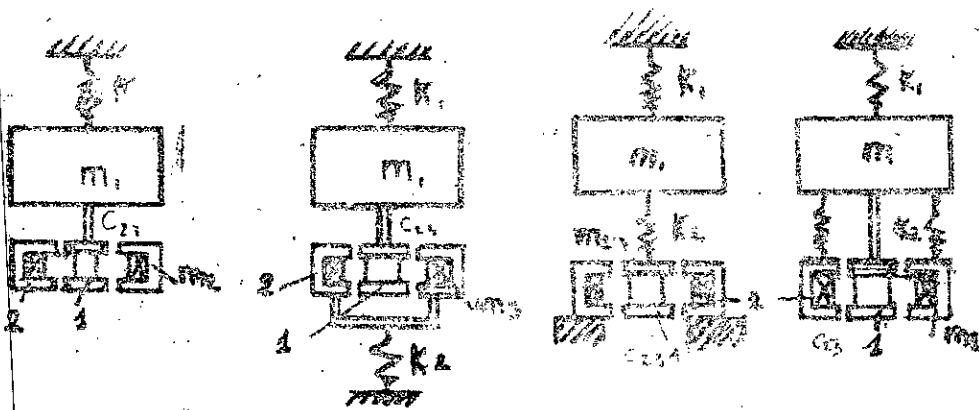




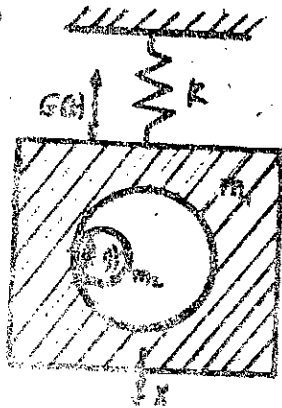
Schema d'amortisseur dynamique pour vibration verticale



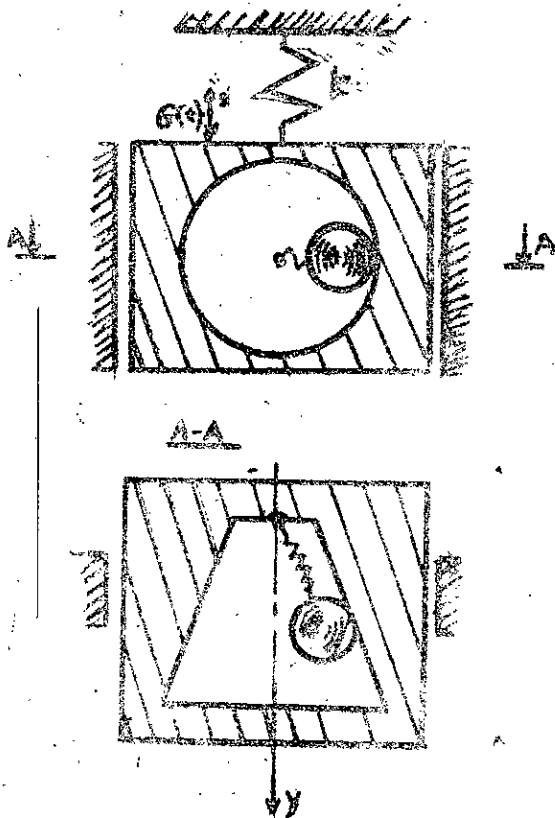
Schema d'amortisseur de vibration de mouvement par déplacement de la masse de l'amortisseur



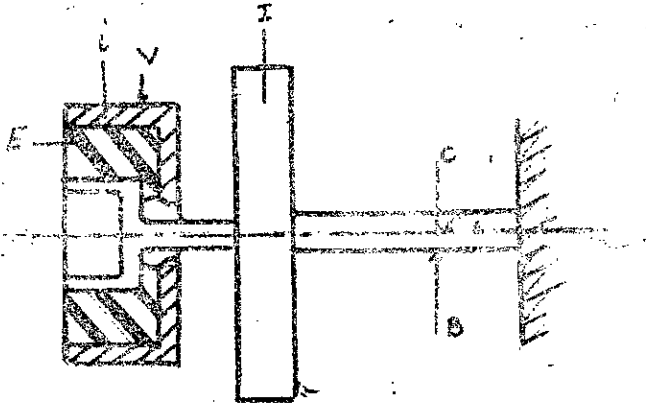
Schema d'utilisation d'un electro-aimant pour la regulation de la rigidité de la suspension d'un amortisseur pour vibration transversale



Schema d'amortisseur de vibration de translation par chocs

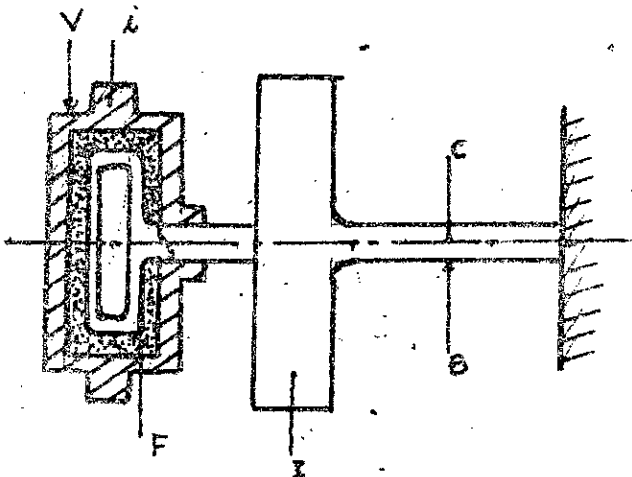


Schema d'un amortisseur pour la compensation des vibrations qui sont excitées par le mouvement de la masse non équilibré avec excentrique variable



B : barreau équivalent  
de rigidité de  
torsion  $C$  et de  
moment d'inertie  $I$   
E : élastomère  
V : volant de moment  
d'inertie  $i$

Amortisseur viscoélastique de vilebrequin



B : barreau équivalent  
de rigidité  $C$  et de  
moment d'inertie  $I$   
F : fluide visqueux  
V : volant de moment  
d'inertie  $i$

Amortisseur visqueux de vilebrequin

### 3. ETUDE D'UN ABSORBEUR DE VIBRATIONS DYNAMIQUE TRANSVERSALES

Dans cette étude nous supposons deux cas,

-Absorbeur de vibrations sans amortisseur

-Absorbeur de vibrations avec amortisseur

et deux formes de perturbations, mais la deuxième forme fera l'objet de comparaison avec la première.

#### 3.1. Absorbeur de vibrations dynamiquess sans amortisseur

##### 3.1.1. Perturbation due à une force centrifuge

Soit le système représenté schématiquement sur la figure -7-

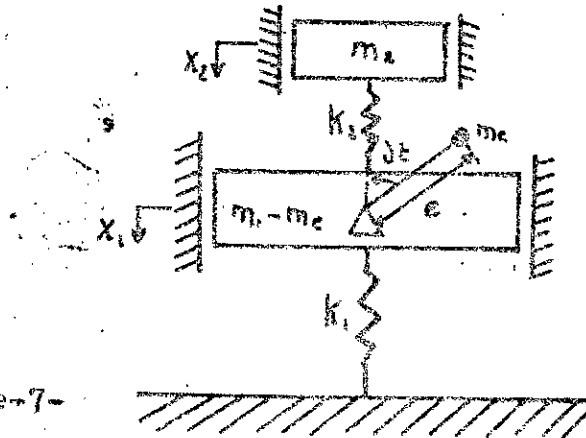


figure-7-

Dans ce cas l'expression (13) de l'amplitude ( ) devient : (avec  $f_1 = 0$  ,  $f_2 = 0$  )

$$\lambda_1 = \frac{\frac{m_2 e}{m_1} \gamma^2 (\gamma^2 - \delta^2)}{\beta \gamma^2 \delta^2 - (\gamma^2 - 1)(\gamma^2 - \delta^2)} \quad (14)$$

On voit que d'après la relation (14) que le mouvement de la masse cesse d'exister pour une valeur de  $\gamma$  (  $\gamma$  ) qui est égal à 1

$$\gamma_{st} = \delta = \frac{\omega_2}{\omega_1} \Rightarrow \gamma_{st} = \omega_2 = \sqrt{\frac{k_2}{m_2}}$$

C'est à dire dans ce cas l'amplitude de vibration de la masse  $m_1$  sera égal à :

$$\lambda_1 = - \frac{m_1 e}{m_1 k_1}$$

Donc les vibrations des deux masses  $m_1$  et  $m_2$  seront données par les équations :

$$x_1 = 0$$

$$x_2 = - \frac{m_1 e}{m_2 k_2} \cos \gamma t$$

Pour toute fréquence ( $\gamma \neq \frac{k_2}{m_2}$ ) on a d'autres valeurs critiques de  $\gamma$  ( $\delta$ ) correspondant aux deux conditions de résonance. Ces valeurs critiques s'obtiennent en égalant à zéro le dénominateur de l'expression (14)

$$\text{d'où : } \beta \gamma^2 \delta^2 - (\gamma^2 - 1)(\gamma^2 - \delta^2) = 0$$

donc on obtient  $\gamma_1$  et  $\gamma_2$

$$\begin{aligned} \gamma_1 &= \sqrt{\frac{1 + \delta^2(1 + \beta) - \sqrt{\Delta}}{2}} \\ \gamma_2 &= \sqrt{\frac{1 + \delta^2(1 + \beta) + \sqrt{\Delta}}{2}} \end{aligned} \quad (15)$$

avec

$$\Delta = [1 + \delta^2(1 + \beta)]^2 - 4\beta\delta^2$$

### 3.1.2. Tracer de la courbe $\lambda_1 = f(\gamma)$

Pour une fréquence  $\gamma$  ( $\gamma$ ), de la force perturbatrice, très petite (c'est à dire pas de perturbation) l'amplitude de vibration tend vers zéro.

Pour une fréquence  $\gamma$  ( $\gamma$ ) très grande, l'amplitude de vibration  $\lambda_1$  tend vers une valeur finie qui est  $\mu = \frac{m_1 e}{m_1}$

### 3.1.3. Perturbation du à une force d'amplitude constante

Pour cette forme d'excitation nous avons les mêmes équations que précédemment pour les déplacements et pour les amplitudes de vibrations forcées. Sauf au lieu du terme  $m_2 \ddot{v}^2$  nous aurons  $F_0$

$$\lambda_1 = \frac{F_0}{k_1} \frac{\gamma^2 \delta^2}{\beta \delta^2 \gamma^2 - (\gamma^2 - 1)(\gamma^2 - \beta^2)} \quad (16)$$

Pour les conditions critiques seront les mêmes que celles des cas précédant, le mouvement de la masse  $m_2$  cesse d'exister pour  $\dot{v}^2 = \frac{k_2}{m_2} (\gamma = \beta)$

Pour les pulsations de résonances sont aussi les mêmes, le seul changement se situe au niveau des courbes de résonance c'est à dire pour  $\dot{v} \ll \omega_1$  ( $\gamma \rightarrow 0$ ) l'amplitude de vibration tend vers une valeur finie qui est  $\frac{F_0}{k_1}$  et pour  $\dot{v} \gg \omega_1$  l'amplitude  $\lambda_1$  tend vers zéro contrairement au cas précédant - figure - 3 -

### 3.1.4. Conclusion

En construisant un absorbeur, il faut s'astreindre à satisfaire les conditions :

$$\left\{ \begin{array}{l} \dot{v}^2 = \frac{k_2}{m_2} \\ X_1 = 0 \\ X_2 = - \frac{m_2 c}{m_2 k_2} \cos \gamma t \end{array} \right.$$

Et les plus petites valeurs acceptables pour  $k_2$  et  $m_2$  dépendant de la valeur maximale de la force perturbatrice et des déplacements que l'on peut permettre à la masse  $m_2$

On voit donc que l'application de l'absorbeur sans amortisseur est limité aux machines à vitesses constantes, telle par exemple les moteurs électriques synchrones ou les machines d'inductions.

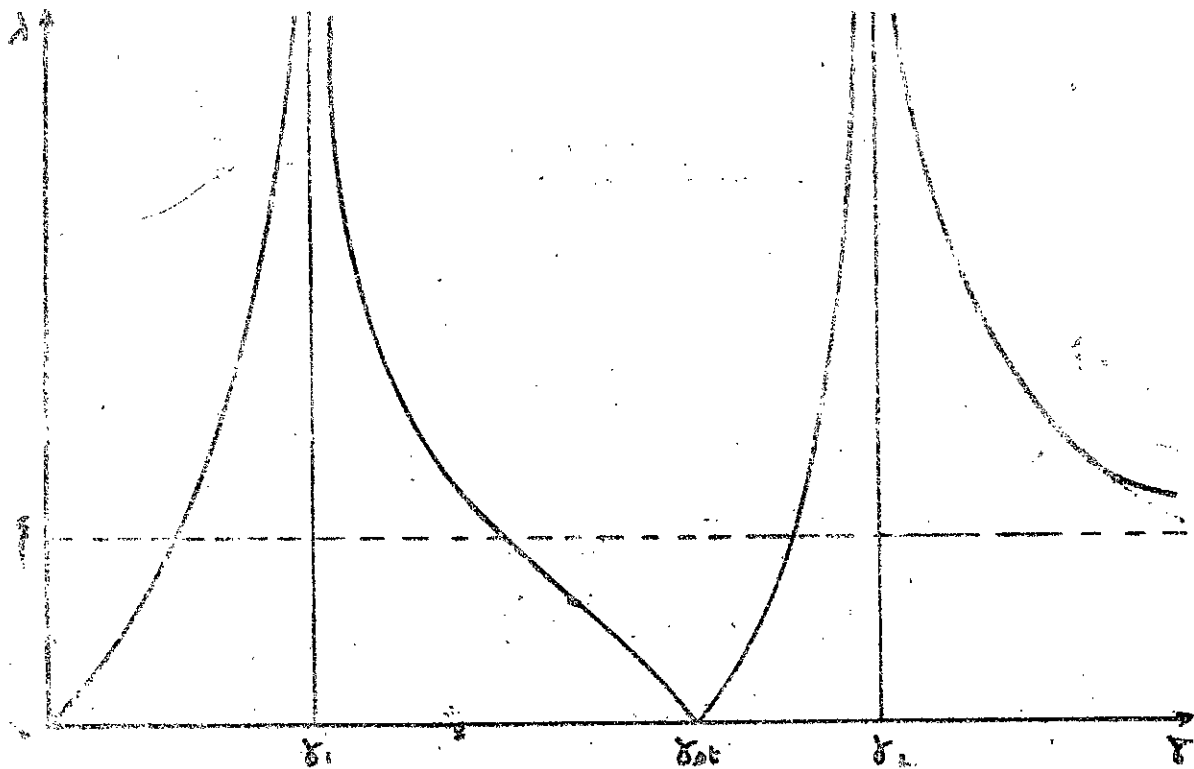


Fig - B.

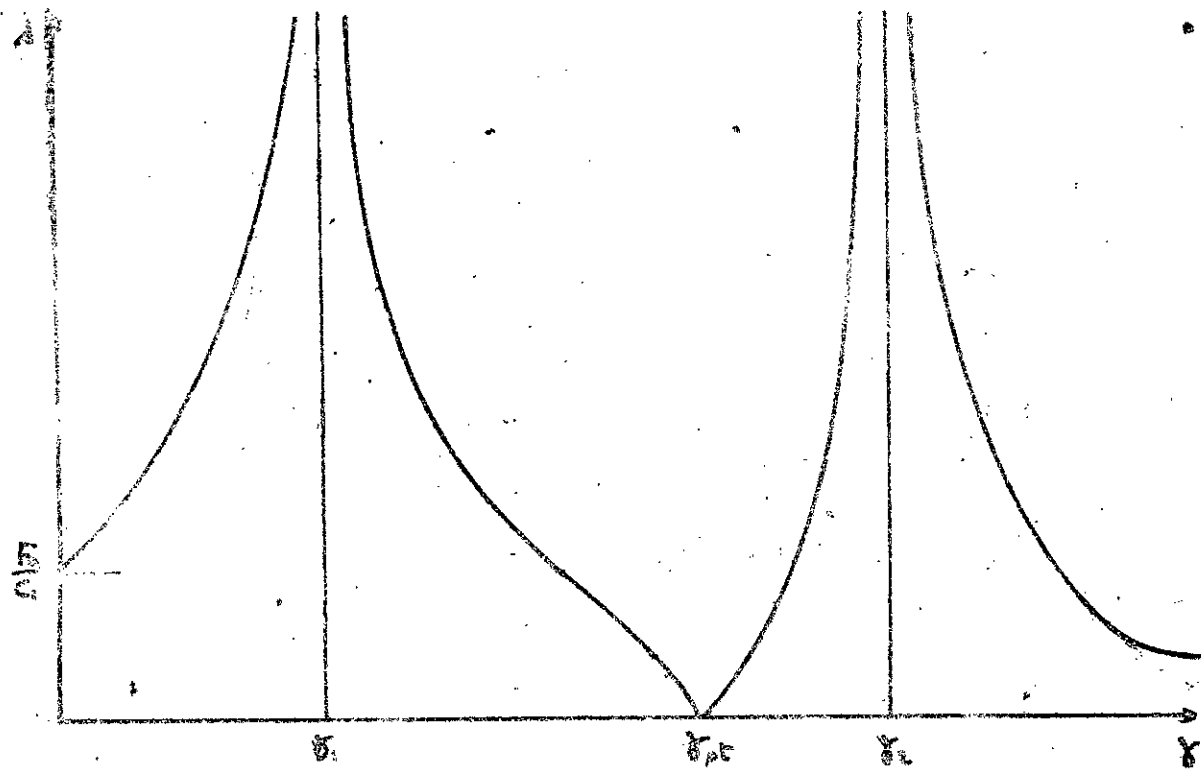


Fig - C.



### 3.2. Absorbeur de vibrations dynamiques avec amortisseur

Soit le schéma de principe d'un absorbeur de vibration dynamiques representé sur la figure-10-

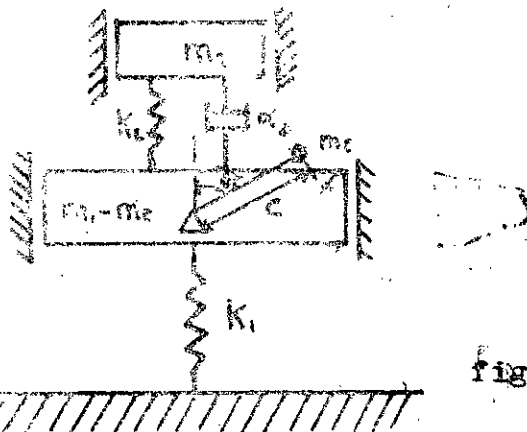


figure - 10 -

Dans le but de rendre un amortisseur (absorbeur) utilisable, il est nécessaire d'introduire un amortisseur dans le système vibratoire (décrit précédemment).

Soit un amortisseur intercalé entre les masses \$m\_1\$ et \$m\_2\$

#### 3.2.1. Excitation par une force centrifuge

Equation (13) devient

avec  $\xi_1 = 0$ .

$$\lambda_1^2 = \frac{r^4 [4\xi_2^2 r^2 + (r^2 \delta^4)^2] \left(\frac{m_2 e}{m_1}\right)^2}{4\xi_2^2 r^2 (r^2 - 1 + \beta r^2)^2 + [\beta \delta^2 r^2 - (r^2 - 1)(r^2 \delta^4)]^2} \quad (17)$$

D'après cette expression (17) on peut calculer l'amplitude de la vibration forcé de la masse \$m\_1\$, pour toute valeur de  $\delta = \frac{\omega}{\omega_1}$ . Si l'on connaît la quantité  $\delta$  et  $\beta$ , définissant la fréquence et le poids de l'absorbeur et la quantité  $\xi_2$ .

3.2.2. Tracer de courbe  $\lambda_1 = f(\gamma)$ .

La représentation graphique de  $\lambda_1 = f(\gamma)$ , nous avons plusieurs cas à étudier car l'expression de  $\lambda$  dépend de plusieurs paramètres qu'il faut prendre en considération : figure -11-

Pour  $\xi_1 = 0$  l'expression de  $\lambda_1$  (17) devient la même expression que celle d'un absorbeur sans amortisseur qui a été déjà vue au paragraphe précédent.

Pour  $\xi_1 = \infty$  c'est à dire l'amortissement à une valeur très considérable il n'y a pas de mouvement relatif entre  $m_1$  et  $m_2$ . Dans ce cas on obtient un système à un degré de liberté, nous déterminons l'amplitude de vibration forcé pour ce cas, l'amplitude  $\lambda_1$  est donnée par:

$$\lambda_1^2 = \left( \frac{m_2 e}{m_1} \right)^2 \frac{\gamma^4}{(\gamma^2 - 1 + \beta \gamma^4)^2} \quad (18)$$

On a une fréquence critique pour ce système, pour la déterminer on annule le dénominateur de l'expression (18) d'où:

$$\gamma^2 - 1 + \beta \gamma^4 = 0 \Rightarrow \gamma_c = \sqrt{\frac{-1}{1+\beta}} \quad (19)$$

Pour les cas limites on a:

-Lorsque  $\gamma$  tend vers zero c'est à dire

l'amplitude de vibration tend vers zero.

-Lorsque  $\gamma$  est très grande, l'amplitude tend vers une

limite finie qui est :  $\lambda_1 = \frac{m_2 e}{m_1} \cdot \frac{1}{1+\beta}$

Pour tout autre valeur de  $(f_2 \neq 0, f_2 \neq \infty)$  par exemple on prend deux valeurs de  $f_2$  ( $f_2 = 0.1$ ),  $f_2 = 0.3$ ) et on prend pour  $\beta = \frac{1}{5}, \gamma = 1$

Ce choix n'est pas necessairement favorable mais juste à titre d'exemple pour le tracer des courbes de resonances  
N.B: Le choix de ces parametre sera fait ulterieurement

Il est interessant de remarquer que toutes les courbes pour les differentes valeurs de  $f_2$ , elles passent par les memes points S et T.

Cela signifie que pour les deux valeurs de  $\gamma = \frac{\omega}{\omega_1}$  les amplitudes des vibrations forcees de la masse  $m_1$  sont independantes de la valeur l'amortissement  $f_2$ .

Pour determiner les valeurs de  $\gamma$  correspondantes aux points S et T pour lesquelles l'expression  $\lambda_1 = f(\gamma)$  ne depend pas de  $f_2$ .

Puisque cette expression (18) à la forme:

$$\lambda_1^2 = \frac{M f_2^2 + N}{P f_2^2 + Q}$$

Elle sera donc independante de  $f_2$  si  $\frac{M}{P} = \frac{N}{Q}$   
d'ou :

$$\frac{\gamma^2 \delta^2}{\beta \delta^2 \gamma^2 - (\gamma^2 - 1)(\gamma^2 \delta^2)} = \frac{1}{\gamma^2 - 1 + \beta \gamma^2}$$

$$\Rightarrow \gamma^4 - 2\gamma^2 \frac{1 + \delta^2 + \beta \delta^2}{2 + \beta} + \frac{2\delta^2}{2 + \beta} = 0 \quad (20)$$

Determinant  $Y_S^2$  et  $Y_T^2$

$$Y_S^2 = \frac{1 + \delta^2 + \beta \delta^2}{2 + \beta} - \sqrt{\Delta'}$$

$$Y_T^2 = \frac{1 + \delta^2 + \beta \delta^2}{2 + \beta} + \sqrt{\Delta'} \quad (21)$$

$$\Delta' = \left( \frac{1 + \delta^2 + \beta \delta^2}{2 + \beta} \right)^2 - \frac{2 \delta^2}{2 + \beta}$$

Nous remplaçons  $Y_S$  et  $Y_T$  dans l'expression de  $\lambda$  et nous trouvons les coordonnées de S et T qui sont :

$$\lambda_S = - \frac{m_e e}{m_s} \frac{Y_S^2}{Y_S^2 - 1 + \beta Y_S^2}, \quad \lambda_T = \frac{m_e e}{m_t} \frac{Y_T^2}{Y_T^2 - 1 + \beta Y_T^2} \quad (22)$$

La valeur de ces ordonnées dépend des quantités  $\beta$  et  $\delta$  ( $\delta$  est en fonction de  $\beta$  et  $\gamma$ ) définissant la masse et la rigidité de l'absorbteur. En choisissant convenablement ces caractéristiques, on peut améliorer l'efficacité de l'appareil.

Il paraît intéressant de faire en sorte que les points S et T aient la même ordonnée pour obtenir les conditions les plus favorables, cela exige que

$$\lambda_T = \lambda_S$$

d'où

$$- \frac{Y_S^2}{Y_S^2 - 1 + \beta Y_S^2} = \frac{Y_T^2}{Y_T^2 - 1 + \beta Y_T^2}$$

$$\Rightarrow \frac{Y_S^2 Y_T^2}{Y_S^2 + Y_T^2} = \frac{1}{2(1 + \beta)} \quad (23)$$

Nous connaissons les expressions de  $Y_s^*$  et  $Y_T^*$  en fonction de  $\beta$  et  $\lambda$  trouver précédemment (21), en les remplaçant dans l'expression (23) et comme  $\lambda_T = \lambda_s$  nous obtenons:

$$s = \sqrt{\frac{1}{1+\beta}} \quad (24)$$

Cette équation très simple donne un moyen aisé pour déterminer d'une façon précise l'absorbeur..

Nous remplaçons cette valeur trouvée dans l'équation (20) pour calculer les deux fréquences correspondantes aux points S et T pour que  $\lambda_T = \lambda_s$ .

L'équation (20) devient :

$$Y^4 - \frac{4Y^2}{2+\beta} + \frac{2}{(1+\beta)(2+\beta)} = 0 \quad (25)$$

d'où l'on tire

$$\begin{aligned} Y_s^2 &= \frac{1}{2+\beta} \left( 2 - \sqrt{\frac{2\beta}{1+\beta}} \right) \\ Y_T^2 &= \frac{1}{2+\beta} \left( 2 + \sqrt{\frac{2\beta}{1+\beta}} \right) \end{aligned} \quad (26)$$

Donc l'amplitude de vibration forcée  $\lambda_T = \lambda_s$  sera donnée par l'équation (27)

$$\lambda_{s,T} = \frac{m_0 c}{m_1} \frac{\left( 2 + \sqrt{\frac{2\beta}{1+\beta}} \right)}{\beta \left( 1 + \sqrt{\frac{2\beta}{1+\beta}} \right) + \sqrt{\frac{2\beta}{1+\beta}}} \quad (27)$$

Jusqu'ici le facteur  $\xi$  définissant l'amortissement n'est pas intervenu dans la discussion puisque la position des points S et T ne dépend pas de  $\xi_1$ , mais l'amplitude de vibration dépend de  $\xi_1$ . Donc il faut choisir  $\xi_1$  de telle façon que les courbes de résonances aient une tangente horizontale en S et T pour obtenir les meilleures conditions favorables, figure -13-

Donc pour choisir  $\xi$  convenablement, nous avons l'expression (17) de l'amplitude de vibration forcée qui se forme sous la forme :

$$A_1^2 = \frac{M\xi_1^2 + N}{P\xi_1^2 + Q}$$

où (M, N, P, Q) dépend de  $\xi, \delta, \beta$

on résout cette équation par rapport à  $\xi_1$ , on obtient

$$\xi_1^2 = \frac{N - Q\lambda_s^2}{P\lambda_s^2 - M} \quad (28)$$

Des que l'on connaît  $\beta = \frac{m_1}{m}$ , de l'équation (24), on calcule la valeur de  $\xi$ , de même pour  $\lambda_s^2$  par l'équation (27) qui correspond à l'ordonnée de S et T, nous remplaçons toutes ces valeurs dans l'équation (28) nous obtenons la valeur de  $\xi_1^2$ .

### 3.2.3. Excitation par une force harmonique à amplitude constante

Pour le cas  $F_0 = \text{cte}$  l'étude de l'amplitude de vibration forcée  $\lambda$ , est analogue au cas précédent.

l'expression de l'amplitude est :

$$\frac{\lambda^2}{\lambda_{st}^2} = \frac{4F_0^2 \gamma^2 + (\gamma^2 \delta^2)^2}{4F_0^2 \gamma^2 (\gamma^2 + \beta \gamma^2)^2 + [\beta \delta^2 \gamma^2 - (\gamma^2 - 1)(\delta^2 - \delta^2)]^2}$$

avec  $\lambda_{st} = \frac{F_0}{C}$

Mais l'étude ne sera pas faite car ce n'est pas notre but de travail. Néanmoins on donne quelques caractéristiques du choix de l'absorbeur et les courbes de resonances - figure - 12 - à titre de comparaison avec les résultats déjà établis précédemment.

- Pour  $\xi = \infty$  la fréquence critique est :  $\delta_c = \sqrt{\frac{1}{1+\beta}}$

- L'amplitude de vibration pour les points S et T sont :

$$\lambda_s = \frac{\lambda_{st}}{\gamma^2 - 1 + \beta \gamma^2} ; \quad \lambda_T = \frac{\lambda_{st}}{\gamma^2 - 1 + \beta \gamma^2}$$

- Expression de  $\delta$  :  $\delta = \frac{1}{1+\beta}$

- Amplitude de vibration pour que S et T aient la même ordonnée :

$$\frac{\lambda_{s,T}}{\lambda_{st}} = \sqrt{\frac{2+\beta}{\beta}}$$

Tracer des courbes voir figure - 12

Tout ces expressions et ces paramètres définissant, le choix de l'absorbeur convenable pour le système mécanique.

## 4. CONCLUSION

L'étude théorique faite précédemment, nous renseigne sur le comportement des machines en vibrations et elle nous permet le choix de l'absorbeur de vibration dynamique utilisée à partir de certaines relations établies dans cette étude.

Pour déterminer un absorbeur de vibration dynamique on procède comme suite:

- Pour une masse  $m$ , et <sup>de</sup> pulsation propre  $\omega$ , donnée de la machine, on choisit une masse  $m_2$  pour l'absorbeur.

( $\beta$  sera déterminé)

- On détermine la constante élastique  $K_2$  de l'absorbeur par l'équation (24)

- La valeur de  $\delta$  de l'amortissement résulte de l'équation (28)

- L'amplitude de vibration forcée sera donnée par l'équation (17)



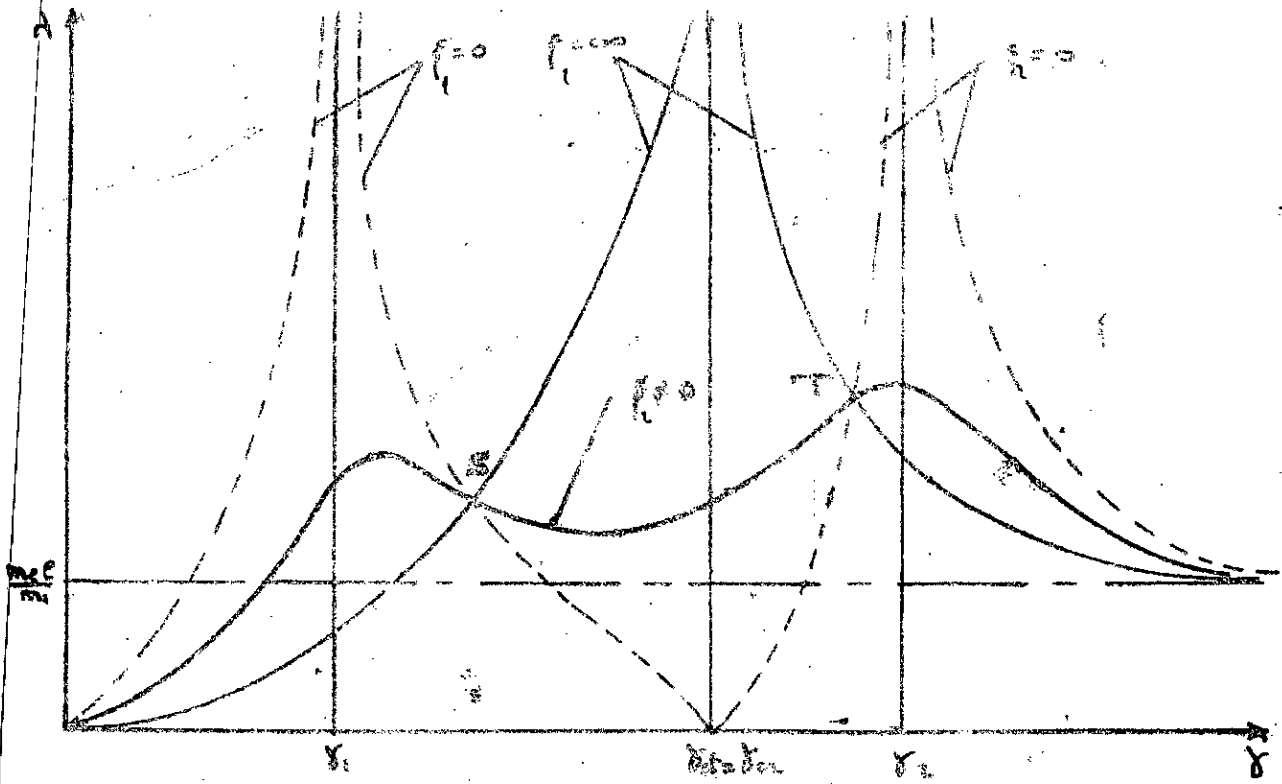


figure-11-

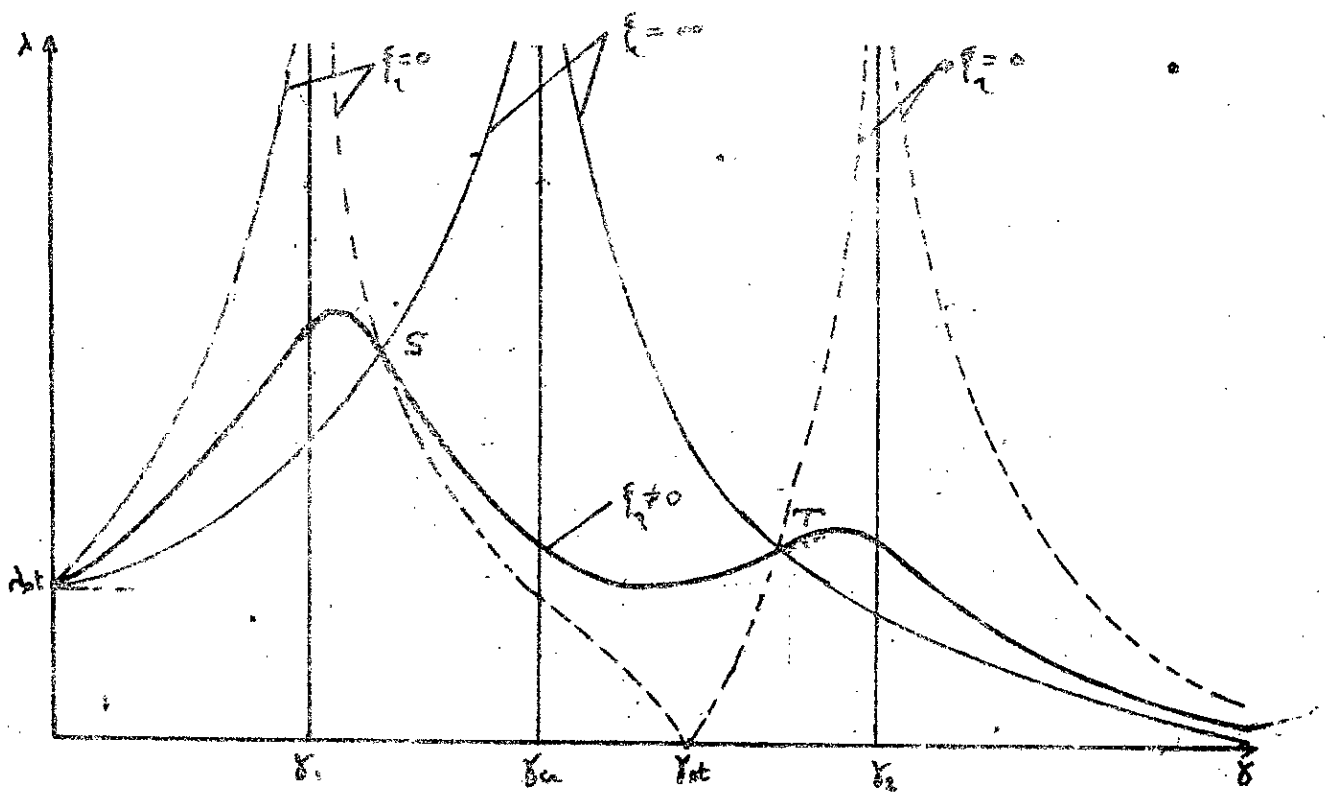


figure-12-

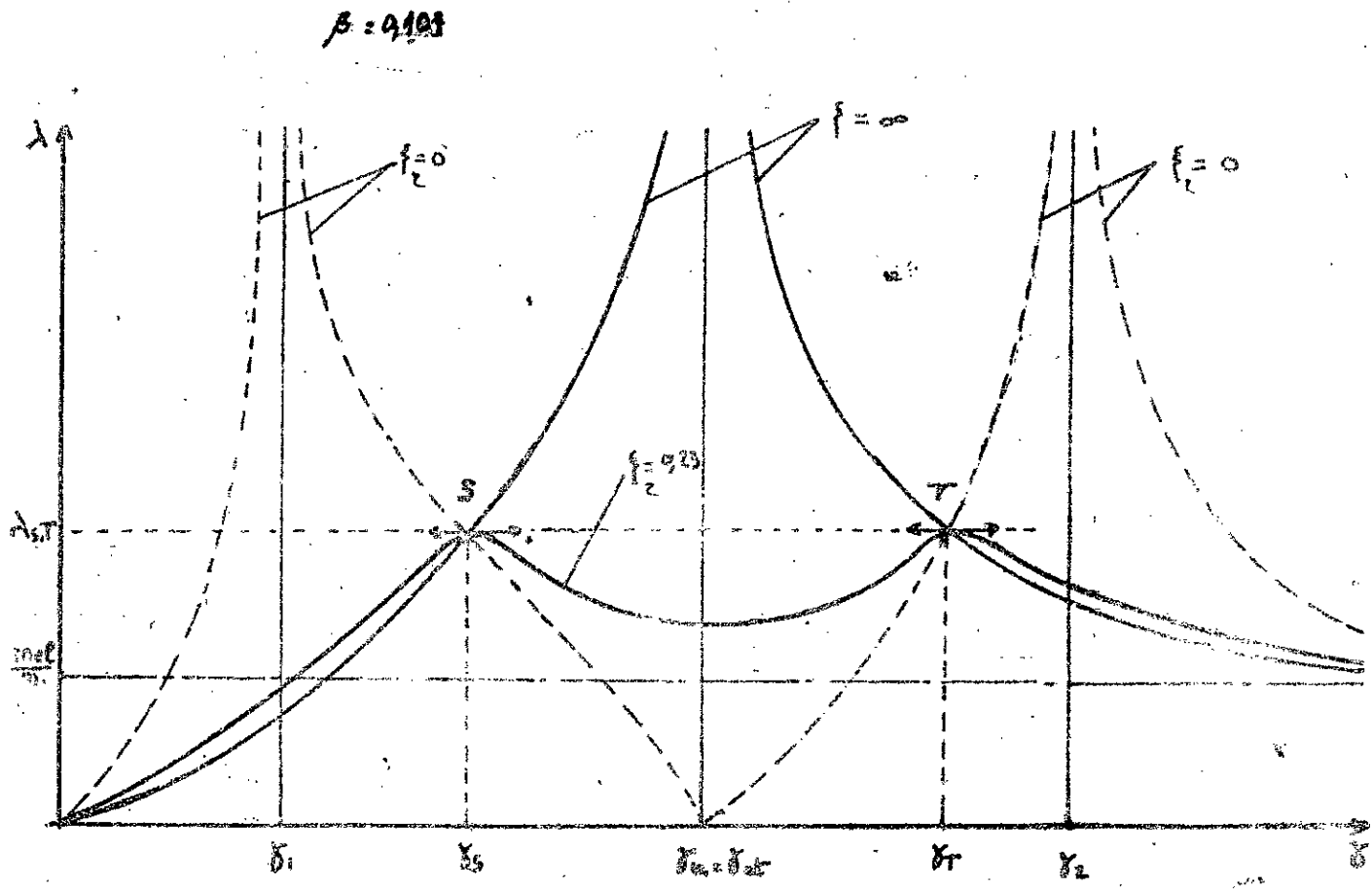


Figure. 13.

## CHAPITRE-IV-

## 1. INTRODUCTION

Après avoir fait l'étude théorique de notre système nous avons établi certaines relations qui ont permis de concevoir notre absorbeur de vibration dynamique .

Ces relations dépendent de certains paramètres dimensionnels tel que l'excentricité  $e$ , les masses  $m_1, m_2$  et les raideurs  $K_1, K_2$ .

2. CALCUL DE L'EXCENTRICITE  $e$ 

Soit l'excentrique décrit sur la figure -14- nous allons déterminer la valeur  $e$ .  $S$  étant le centre de gravité de notre excentrique ; nous avons les données suivantes  $\alpha, d, R_2, r_0$ .

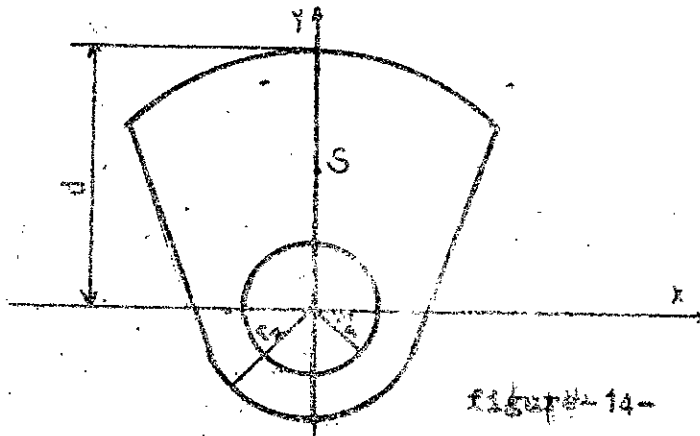


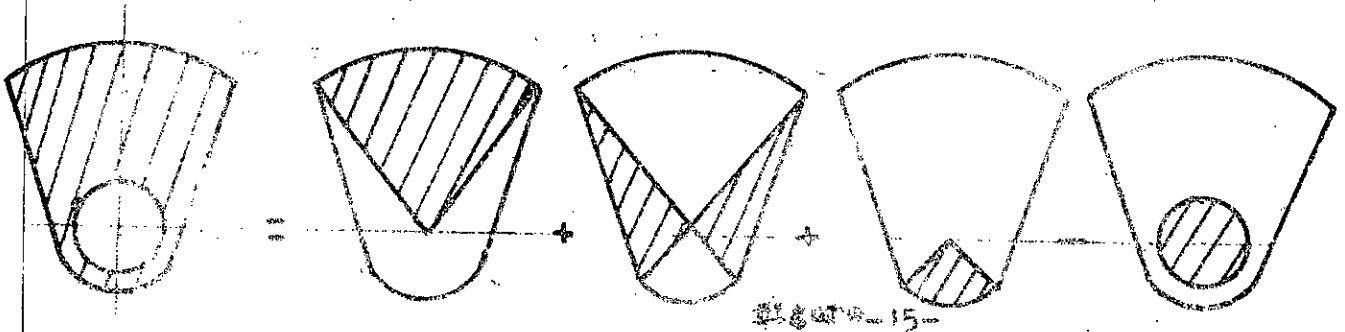
figure-14-

Pour déterminer  $e$  nous appliquons la méthode du calcul de centre de gravité d'un système qui est :

$$y_G = \frac{\sum y_i s_i}{\sum s_i}$$

Nous décomposons notre surface en plusieurs surfaces, de

manière suivante (figure -15 -)



Donc  $e$  est donné par la formule précédente

$$y_c = \frac{y_1 s_1 + y_2 s_2 + y_3 s_3 - y_4 s_4}{s_1 + s_2 + s_3 - s_4}$$

2.1. Détermination de  $y_c$  et  $s$ ,

pour déterminer  $y_c$ , nous appliquons la même méthode que pour  $y_c$ . Soit à déterminer le centre de gravité de la figure -16-

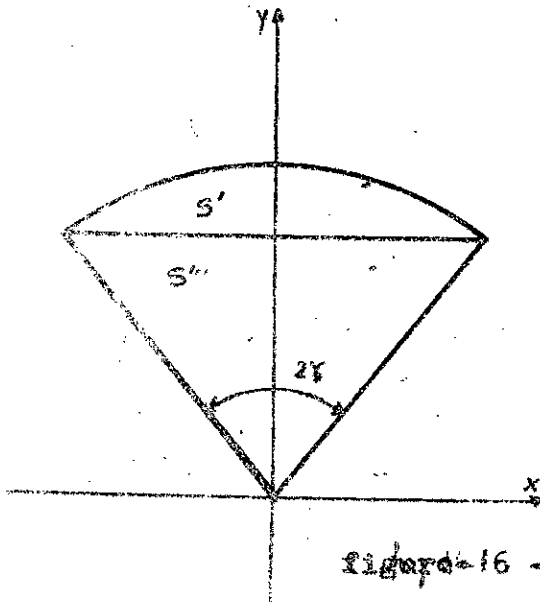


figure -16 -

$$y_c = \frac{y' s' + y'' s''}{s' + s''}$$

$$y' = \frac{\iint y \, dx \, dy}{\iint dx \, dy}$$

$$\text{ou: } \iint dx \, dy = \iint ds = s'$$

$$s' = s - s''$$

$$s' = d^2 (\gamma - \cos \gamma \sin \gamma)$$

$$y'' = \frac{2}{3} d \cos \gamma$$

$$s'' = d^2 \cos \gamma \sin \gamma$$

après intégration nous obtenons:

$$y' = \frac{2}{3} d \frac{\sin^3 \gamma}{\gamma - \sin \gamma \cos \gamma}$$

d'où

$$y_c = \frac{2}{3} d \frac{\sin \gamma}{\gamma}$$

.../...

2.2. Determination de  $y_1$  et  $S_1$ 

Pour déterminer  $y_1$ , nous appliquons la même méthode que pour la détermination de  $y$ , d'où nous obtenons:

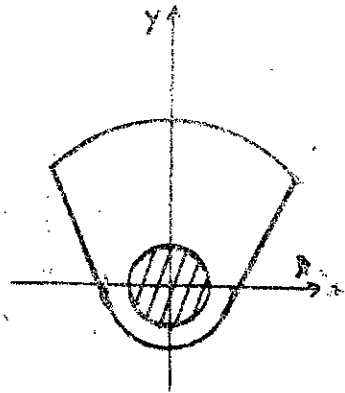
$$y_1 = \frac{2}{3} r \frac{\sin \psi}{\psi}$$

$$S_1 = r_1^2 \psi$$

2.3. Determination de  $y_2$  et  $S_2$ 

$$S = \pi r_2^2$$

$$y = 0$$

2.4. Determination de  $y_2$  et  $S_2$ 

$$S_2 = U \cdot r_2$$

$$\text{avec: } U = d \cos \beta$$

et

$$\sin \beta = \frac{r_2}{d}$$

d'où

$$\beta = \arcsin \frac{r_2}{d}$$

$$y_2 = \frac{2}{3} V \sin X$$

déterminant  $V$  et  $X$

$$V^2 = r_2^2 - \frac{U^2}{4} \Rightarrow V = \sqrt{r_2^2 - \frac{U^2}{4}}$$

$$X = \delta - \alpha$$

$$\text{on a aussi: } \operatorname{tg} \delta = \frac{U}{2r_2}$$

$$\text{d'où } \delta = \arcsin \frac{U}{2r_2}$$

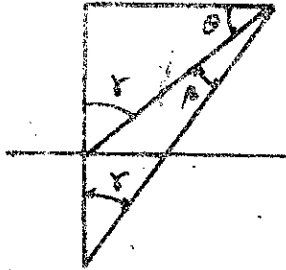
$$\Rightarrow y_2 = \frac{2}{3} \sqrt{r_2^2 - \frac{U^2}{4}} \sin(\delta - \alpha)$$

$$S_2 = r_2 d \cos \beta$$

Finalement  $y$  sera

$$y_0 = e = \frac{\frac{2}{3} d^2 \sin \psi + r_2 U y_2 - \frac{2}{3} r_2 \sin \psi}{d^2 \psi + r_2 U + r_2^2 \psi - \pi r_2^2}$$

Expriment les parametres  $\gamma, \alpha, \delta, \beta$ , en fonction de  $d, r_1, r_2, r_w$  qui sont donnés  
on a



$$\left. \begin{aligned} \gamma &= \frac{\pi}{2} - \theta \\ \theta &= \frac{\pi}{2} - \alpha - \beta \end{aligned} \right\} \Rightarrow \delta = \alpha + \beta$$

$$\beta = \arcsin \frac{r_2}{d}$$

de même pour  $\psi$ :

$$\psi = \frac{\pi}{2} - \alpha$$

Application numérique

nous choisissons les données suivantes:

$$-d = 44 \text{ mm}$$

$$-\alpha = 25^\circ$$

$$-r_1 = 17 \text{ mm}$$

$$-r_w = 7 \text{ mm}$$

d'où nous trouvons

$$-e = 18 \text{ mm}$$

La masse  $m_e = s \cdot h \cdot \rho$

s: surface de l'excentrique

h: épaisseur de l'excentrique

$\rho$ : masse volumique =  $7.85 \cdot 10^3 \text{ kg/m}^3$

$$s = 2299.33 \text{ mm}^2$$

$$m_e = 0.162 \text{ kg}$$

$$h = 9 \text{ mm}$$

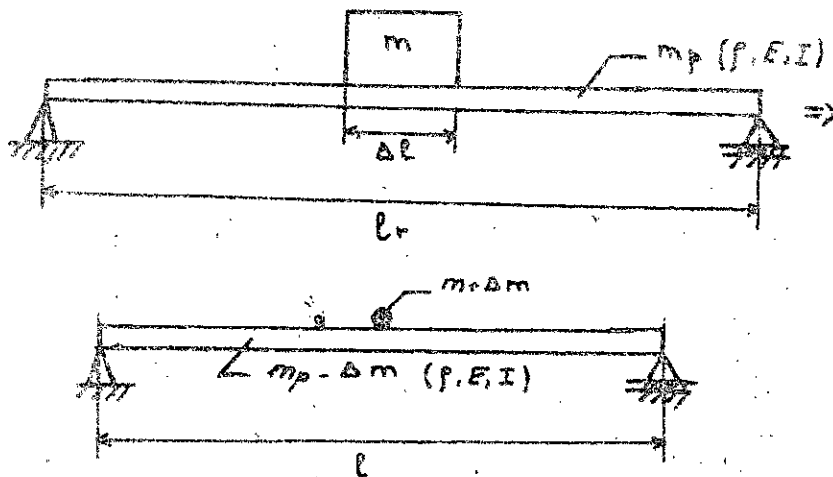
comme on a 4 excentriques d'où

$$m_{ct} = 4 \cdot m_e = 0.6495 \text{ kg}$$

### 3. CALCUL DE MASSE REDUITE $m_r$ PAR LA METHODE DE REYLEIGH

Avant de calculer la masse reduite  $m_r$ , on doit determiner la fleche due aux poids de la poutre et de la masse de l'excitateur car on a besoin pour le calcul de la masse reduite par la methode de Rayleigh

#### 3.1. Calcul de la fleche totale par la methode de superposition



$m$  = masse de l'excitateur

$m_p$  = masse de la poutre

$l_r$  = longueur reelle

$l$  = longueur reduite  $l = l_r - \Delta l$

$\Delta m$  = element de masse

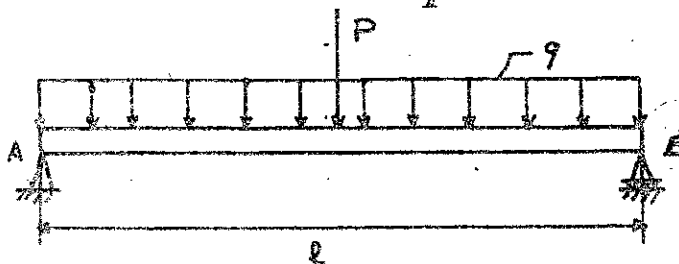
$$\Delta m = \Delta l \cdot F \cdot \rho$$

$F$ : section de la poutre

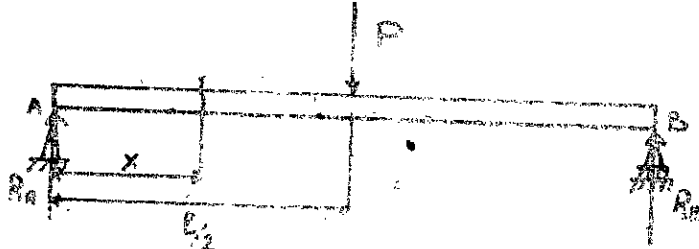
$\rho$ : densite de la poutre

potenssa:  $P = (m + \Delta m)g$

$$q = \frac{(m_p - \Delta m)g}{l}$$



a. Effet de P



Pour  $0 < x < \frac{l}{2}$

$$\text{on a } R_A + R_B = \frac{P}{2}$$

La fleche  $y(x)$  est donnée par l'équation différentielle de la déformée:

$$E I y''(x) = - M(x)$$

déterminons  $M(x)$

$$M(x) = R_A x = \frac{Px}{2} \quad \Rightarrow \quad E I y''(x) = - M(x) = - \frac{Px}{2}$$

$$\Rightarrow y_1(x) = \frac{1}{E I} \left( \int \frac{Px^2}{12} + \frac{Pl^2 x}{16} \right) = \frac{Px}{48 EI} (3l^2 - 4x^2)$$

$$y_1\left(\frac{l}{2}\right) = \frac{Pl^3}{48 EI}$$

Nous savons que la fleche statique

$$\zeta_{\text{st}} = \frac{P}{K_1}$$

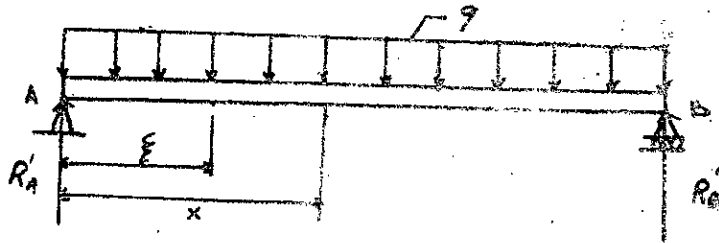
or dans ce cas  $y_1\left(\frac{l}{2}\right) = \zeta_{\text{st}}$

$$\text{donc } K_1 = \frac{48 EI}{l^3}$$

avec

$$I = \frac{bh^3}{12}$$

b. Effet de q



$$R_A' = R_B' = \frac{ql}{2}$$



$$M(x) = R_A x - \int_0^x q(\xi)(x - \xi) d\xi = -\frac{q}{2} \frac{qx}{2} + \frac{qx^2}{2}$$

$$EI y''(x) = -M(x) = -\frac{qx}{2} + \frac{qx^2}{2}$$

$$\text{d'où:} \\ EI y'(x) = -\frac{qx^2}{2} + \frac{qx^3}{24} + C_1 x + C_2$$

Nous déterminons les constantes  $C_1$  et  $C_2$  par les conditions initiales:

$$x = 0 ; y(0) = 0 \implies C_2 = 0$$

$$x = 1 ; y(1) = 0 \implies C_1 = -\frac{q}{24}$$

La fleche  $y(x)$  est:

$$y(x) = \frac{1}{EI} \left( \frac{qx^4}{24} - \frac{q^2 x^5}{2^2} + \frac{qx^3}{24} \right)$$

Donc la fleche totale est:

$$y_T = y_I + y_{II} \\ y_T(x) = \frac{Px}{48EI} (3l^2 - 4x^2) + \frac{q^2}{24EI} (x^3 - 12xl + l^3)$$

L'angle de rotation est:

$$\theta_T = \theta_I + \theta_{II}$$

$$\theta_I = \frac{dy_I}{dx} = \frac{p(l^2 - 4x^2)}{16EI}$$

$$\theta_{II} = \frac{dy_{II}}{dx} = \frac{q(x^2 - 36xl + l^3)}{24EI}$$

### 3.2. Calcul de la masse réduite par la méthode de Rayleigh

La méthode de Rayleigh se base sur la conservation de l'énergie totale

$$E_t = \text{cte}$$

$$\text{donc } E_{c\text{max}} = E_{p\text{max}}$$

$E_c$  = l'énergie cinétique

$E_p$  = l'énergie potentielle

a. Calcul de l'énergie cinétique

$$E_{c_1} = E_{c_1} + E_{c_2} \quad E_{c_1} = \text{l'énergie cinétique pour la poutre}$$

$$E_{c_2} = \text{l'énergie cinétique pour la masse } (m + \Delta m)$$

Calcul de l'énergie cinétique de la poutre

$$E_{c_1} = 2 \cdot \frac{1}{2} \int_0^L f P dx (\dot{y})^2$$

y est fonction de x et de temps

$$y(x, t) = y(x) \cdot \tau(t)$$

nous prenons  $\tau(t) = \cos \omega t$

d'où  $y(x, t) = y(x) \cos \omega t$

donc  $\dot{y}(x, t) = y(x) \cdot \dot{\tau}(t) = -y(x) \cdot \omega \sin \omega t$

de même  $f P = \frac{m_p - \Delta m}{l}$

d'où

$$E_{c_1} = (m_p - \Delta m) \omega^2 \frac{Pl^6}{(48EI)^2} \cdot \frac{17}{70} \sin^2 \omega t$$

$$E_{c_1, \max} = \frac{17}{70} \omega^2 (m_p - \Delta m) \frac{Pl^6}{(48EI)^2}$$

Calcul de l'énergie cinétique de la masse

$$E_{c_2} = \frac{1}{2} (m + \Delta m) V^2$$

$$V = \dot{y}\left(\frac{l}{2}, t\right) \implies V = y\left(\frac{l}{2}\right) \cdot \dot{\tau}(t) = -y\left(\frac{l}{2}\right) \omega \sin \omega t$$

$$E_{c_2} = \frac{1}{2} (m + \Delta m) \left[ y\left(\frac{l}{2}\right) \omega \sin \omega t \right]^2$$

$$E_{c_2} = \frac{1}{2} (m + \Delta m) \frac{Pl^6}{(48EI)^2} \omega^2 \sin^2 \omega t$$

d'où  $E_{c_2, \max} = \frac{1}{2} (m + \Delta m) \frac{Pl^6}{(48EI)^2} \omega^2$

Donc finalement l'énergie cinétique du système est :

$$E_{c \text{ max}} = \frac{P^2 l^2 \omega^2}{2(48 El)^2} \left( (m + \Delta m) + \frac{17}{35} (m_p - \Delta m) \right)$$

b. Calcul de l'énergie potentielle maximal

$$E_{p \text{ max}} = \frac{1}{2} K y^2$$

$$E_{p \text{ max}} = \frac{1}{2} K \left( \frac{P^2 l^2}{(48 El)^2} \right)^2$$

Calculant à partir de l'énergie cinétique et potentielle :

$$E_{c \text{ max}} = E_{p \text{ max}}$$

d'où

$$\omega^2 = \frac{K}{(m + \Delta m) + \frac{17}{35} (m_p - \Delta m)}$$

D'autre part nous avons , avec la masse réduite :

$$E_{c \text{ max}} = \frac{1}{2} m_e V^2 \quad V = -y \omega \sin \omega t$$

$$E_{p \text{ max}} = \frac{1}{2} K y^2$$

$$\text{d'où} \quad \omega^2 = \frac{K}{m_e}$$

Puisque nous avons la même pulsation donc

$$\frac{K}{m_e} = \frac{K}{(m + \Delta m) + \frac{17}{35} (m_p - \Delta m)}$$

La valeur de la masse réduite est :

$$m_e = (m + \Delta m) + \frac{17}{35} (m_p - \Delta m)$$

### 3.3. Calcul numérique de la masse $m_z$ ,

Nous avons un excitateur de masse  $m$  qui est 2 kg

- une poutre de dimension

$$L_T = 700 \text{ mm}$$

$$h = 8 \text{ mm}$$

$$b = 32 \text{ mm}$$

$$\rho = 7,85 \cdot 10^3 \text{ kg/m}^3$$

masse de la poutre

$$m_p = 1,407 \text{ kg}$$

$$\Delta m = 0,1005 \text{ kg}$$

La masse réduite, est :

$$m_z = 2,7349 \text{ kg}$$

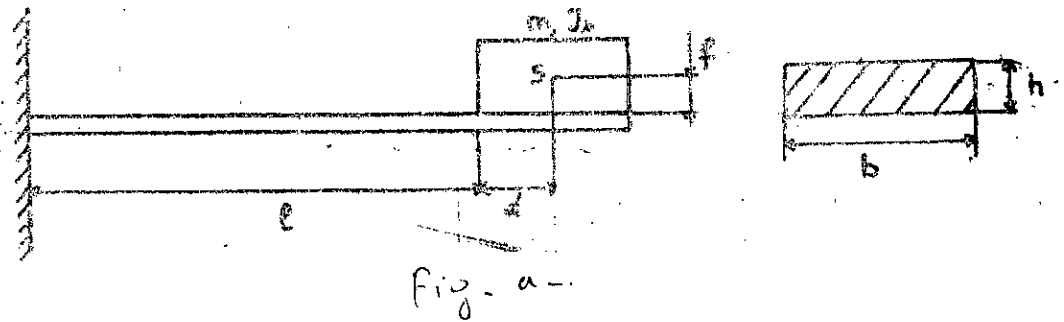
## 4. CALCUL DE LA REGIDITE D'UNE POUTRE EN CASTRE ET CALCUL DE SA MASSE REDUITE

### Introduction

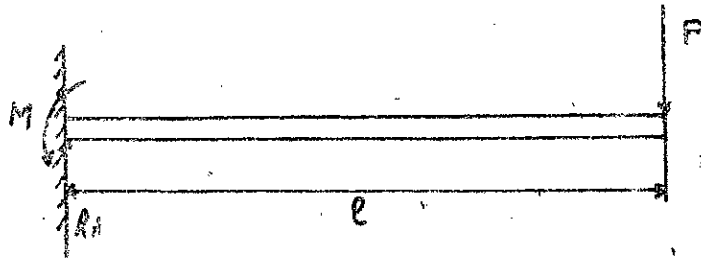
Le calcul de la rigidité de la poutre encastrée est nécessaire pour le calcul de sa fréquence propre, ainsi que les dimensions de cette poutre, car la rigidité dépend des caractéristiques dimensionnelles.

### 4.1. Calcul de la rigidité

Soit une poutre encastrée de masse  $m_p$ , de moment quadratique  $I$ , comportant à son extrémité à une distance  $l$  une masse  $m$  de moment d'inertie  $J$ .  
(voir figure -a-)



Calcul de la déformée du caeu après  $P = mg$



$M$  = moment d'encastement

$$M = R_A l \quad \text{et} \quad R_A = -P$$

$$\text{d'où} \quad M = -Pl$$

Calcul du moment  $M(x)$

$$M(x) = R_A x + M = Px - Pl$$

$$M(x) = P(x - l)$$

La déformée est donnée par la relation:

$$EIy''(x) = -M(x)$$

d'où nous avons :

$$y(x) = -\frac{P}{6} \frac{x^3}{l} + \frac{P}{2} \frac{lx^2}{l} + C_1 x + C_2$$

Les constantes  $C_1$  et  $C_2$  sont déterminées grâce aux conditions au limite

$$x = 0, y = 0 \implies C_2 = 0$$

$$x = 0, \theta = 0 \implies C_1 = 0$$

$$\theta(x) = -\frac{Px^2}{2l} + Plx + C$$

$$\text{d'où} \quad y(x) = \frac{Px^2}{6EI} (3l - x)$$

La fleche statique  $\delta_{st}$  au point  $x = l$  est :

$$\delta_{st} = y(l) = \frac{Pl^3}{3EI}$$

or nous avons que  $\delta_{st} = \frac{P}{K_1}$ , donc la constante de rigidité est :

$$K_1 = \frac{3EI}{l^3}$$

L'angle de rotation  $\theta(1)$  au point  $l$  est :

$$\theta(1) = \frac{Pl^2}{2EI}$$

#### 4.2. Calcul de la masse reduite par la methode de Rayleigh

Cette methode a été décrite précédemment ; donc nous calculons l'énergie cinétique et potentielle totale

a. Pour le systeme équivalent

$$E_{c \text{ max}} = \frac{1}{2} m_2 V^2 = \frac{1}{2} m_2 y(l) \omega^2$$

$$\text{car } v = \dot{y}(l, t) = y(l) \dot{z}(t) = -y(l) \omega^0 \sin \omega t$$

$$E_{p \text{ max}} = \frac{1}{2} K y'(1)$$

puisque

$$E_{c \text{ max}} = E_{p \text{ max}}$$

d'où nous obtenons

$$\omega^2 = \frac{K_1}{m_2}$$

b. Pour le systeme initial

- l'énergie cinétique est :-

$$E_{c \text{ max}} = E_{c, \text{ max}} + E_{c_1, \text{ max}} + E_{c_2, \text{ max}}$$

-  $E_{c, \text{ max}}$  = l'énergie cinétique de la poutre en translation

-  $E_{c_1, \text{ max}}$  = l'énergie cinétique de la masse en translation

-  $E_{c, \max}$  = l'énergie cinétique de la masse en rotation  
autour de l'axe

- Calcul de  $E_{c, \max}$

$$E_{c,} = \frac{1}{2} \int_0^l \rho dx (\dot{y})^2$$

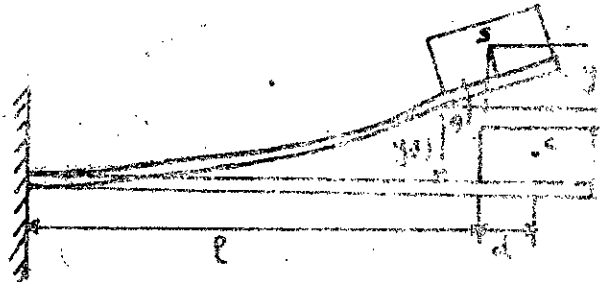
$$y(x,t) = y(x) \tau(t) \quad \text{avec } \tau(t) = \cos \omega t$$

$$\text{d'où } E_{c,} = \frac{1}{2} \int_0^l \rho A y'(x)^2 dx \omega^2 \sin^2 \omega t$$

$$\text{nous savons que } \int_0^l \rho A dx = \frac{m}{l}$$

$$\text{d'où : } E_{c, \max} = \frac{1}{2} \frac{\omega^2 P^2 l^6}{(6EI)^2} \frac{m}{l} \cdot \frac{33}{35}$$

- Calcul de  $E_{c_2, \max}$  et  $E_{c_3, \max}$



$$E_{c_2, \max} = \frac{1}{2} m \dot{V} = \frac{1}{2} m v_0^2 \omega^2 \sin^2 \omega t$$

déterminant  $y_0$

$$y_0 = y(l) + y' \quad \text{avec } y' = d \theta(1)$$

où  $\theta(1)$  est l'angle de rotation

au point  $x = l$

$$\text{d'où } y_0 = \frac{P l^3}{3EI} + \frac{dP l^2}{2EI} = \frac{P l^3}{(2.3EI)} (1 + 3\frac{d}{l})$$

$$y_0^2 = \frac{P^2 l^6}{4 \cdot (3EI)^2} (1 + \frac{3d}{l} + \frac{9d^2}{4 l^2})$$

Finalement  $E_{c_2, \max}$  est

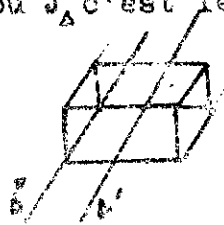
$$E_{c_2, \max} = \frac{1}{2} \frac{P^2 l^6}{(3EI)^2} \frac{m}{l} \omega^2 (1 + \frac{3d}{l} + \frac{9d^2}{4 l^2})$$

.../...

-Calcul de  $E_{C_3 \max}$

$$E_C = \frac{1}{2} J_{\Delta} \dot{\theta}^2 (1)$$

ou  $J_{\Delta}$  c'est le moment d'inertie par rapport à l'axe  $\Delta$



D'après le theoreme d'Huygenes

$$J_{\Delta} = J_G + m a^2$$

$J_G$  c'est le moment d'inertie du corp par rapport à l'axe  $\Delta$  passant par son centre de gravité

$$J_G = \iiint_V \rho (y^2 + z^2) dx dy dz$$

$$J_G = \rho \int_{-d}^d \int_{-f}^f \int_{-b}^b (y^2 + z^2) dx dy dz \quad \text{ou } \rho \text{ c'est la densité}$$

$$J_G = \frac{1}{3} 2d 2f b (f^2 + d^2)$$

avec  $V = 2d 2f b$  c'est le volume de notre corps  
et  $m = \rho V$

$$\text{d'ou } J_G = \frac{1}{3} m (f^2 + d^2)$$

Pour 'a' c'est la distance entre les deux axes

$$a = f$$

$$\text{d'ou } J_{\Delta} = J_G + m a^2 = \frac{1}{3} m (f^2 + d^2) + m f^2$$

$$- \theta(x,t) = \theta(x) \zeta(t) = - \theta(x) \omega \sin \omega t$$

Finalement l'energie cinetique  $E_{C_3 \max}$  sera:

$$E_{C_3 \max} = \frac{1}{2} m \left( \frac{4}{3} (f^2 + d^2) - d^2 \right) \frac{P^2 l^4}{4(EI)^2} \omega^2$$



Donc nous deduisons l'energie cinetique totale du systeme apres simplification nous aurons:

$$E_c \text{ max} = \frac{1}{2} \frac{P^2 L^6 \omega^2}{(3EI)^2} \left[ m \left( 1 + \frac{3d}{L} + 3 \frac{f^2 + d^2}{L^2} \right) + \frac{33}{140} m_p \right]$$

-Calcul de l'energie potentielle  $E_p \text{ max}$

$$E_p \text{ max} = \frac{1}{2} K y^2(l, t) = \frac{1}{2} \frac{P^2 L^6}{(3EI)^2} \cdot K$$

Puisque nous avons, conservation de l'energie totale

$$E_c \text{ max} = E_p \text{ max}$$

d'où

$$\frac{1}{2} \frac{P^2 L^6 \omega^2}{(3EI)^2} \left[ m \left( 1 + \frac{3d}{L} + 3 \frac{f^2 + d^2}{L^2} \right) + \frac{33}{140} m_p \right] = \frac{P^2 L^6 K}{2 \cdot (3EI)^2}$$

$$\omega^2 = \frac{K}{m \left( 1 + \frac{3d}{L} + 3 \frac{f^2 + d^2}{L^2} \right) + \frac{33}{140} m_p}$$

Mais d'autre par nous avons eue même pulsation pour les systemes equivalents et initiale, nous obtenons l'expression de la masse reduite :

$$m_{2e} = m \left( 1 + \frac{3d}{L} + 3 \frac{f^2 + d^2}{L^2} \right) + \frac{33}{140} m_p$$

## 5.2.2. DIMENSIONNEMENT DE L'ABSORBEUR

### 5.2.2.1. Calcul de la masse $m_2$

Nous choisissons le coefficient de rapport de masse

$$\beta = \frac{m_2}{m_1} = \frac{1}{5}$$

Et comme  $m_1 = m_{1e} = 2,7349 \text{ kg}$

$$\text{d'où } m_2 = \beta m_1 \implies m_2 = 0,4558 \text{ kg}$$

et comme  $m_2 = 2 m_{2e}$  donc  $m_{2e} = 0,227 \text{ kg}$

5.1. Calcul de la fréquence propre de la poutre seill

$$\omega_1 = \sqrt{\frac{K_1}{m_1}}$$

$$m_1 = 2,7349 \text{ kg}$$

$$K_1 = \frac{48 EI}{l^3} \quad \text{avec } I \text{ moment quadratique}$$

$$I = \frac{b h^3}{12}$$

$$E = 2,109 \cdot 10^8 \text{ kg / cm}^2 \quad \text{module de Young}$$

$$g = 980,66 \text{ cm / s}^2$$

$$\text{d'où } \omega_1 = 164,90 \text{ rad/s}$$

5.3. Détermination de la pulsation propre de l'absorbeur

D'après la formule (14) nous avons

$$\xi = \sqrt{\frac{1}{1+\beta}}$$

$$\text{et comme } \delta = \frac{\omega_2}{\omega_1} \quad \text{d'où } \omega_2 = \delta \omega_1 = \omega_1 \sqrt{\frac{1}{1+\beta}}$$

$$\omega_2 = 138,89 \text{ rad/s}$$

5.4. Détermination de la raideur K de l'absorbeur

D'après la formule (5)

$$\omega_2^2 = \frac{k_2}{m_2}$$

d'où on tire la valeur de  $K_2$

$$K_2 = 4,09 \text{ N/cm}$$

5.5. Détermination de la largeur de la lame de l'absorbeur

La formule (1) nous donne

$$K_1 = \frac{3 EI}{l^3}$$

$$\text{avec } I = \frac{b h^3}{12}$$

on l'ontire

$$b = \frac{4K_2 l^3}{E h^3}$$

Nous choisissons une longueur de  $l = 120 \text{ mm}$ ,

une hauteur de  $h = 2 \text{ mm}$

avec  $E = 2,109 \cdot 10^6 \text{ kg/cm}^2$

d'où  $b = 16,7 \text{ mm}$

Donc la masse de lame de l'absorbeur  $m_p'$  est

$$m_p' = 0,2126 \text{ kg}$$

Nous recalculons la masse  $m_2$  d'après la formule :

$$m_2 = m \left( 1 + 3 \frac{d}{l} + 3 \frac{f^2 + d^2}{l^2} \right) + \frac{33}{140} m_p'$$

la masse accrochée à l'extrémité de la lame qui est égale :

$$m = V f \quad f = 7,85 \cdot 10^3 \text{ kg/m}^3$$

la masse  $m$  a la forme d'un parallipède de dimension

$$( 2d, 2f, b' )$$

$$d = 15 \text{ mm}$$

$$f = 12 \text{ mm}$$

$$b' = 30 \text{ mm}$$

$$\text{d'où } m = 0,169 \text{ kg}$$

Nous obtenons pour  $m_2$  :

$$m_2 = 0,2765 \text{ kg} \implies m_2 = 0,553 \text{ kg}$$

Nous recalculons  $\beta$  :

$$\beta = \frac{m_2}{m_1} = 0,101$$

$$\text{de même } \delta = \sqrt{\frac{1}{1+\beta}} = 0,953$$

Dans ce cas la pulsation propre de l'absorbeur sera :

$$\omega_2 = \delta \omega_1 \implies \omega_2 = 138,47 \text{ rad/s}$$

5.5. Calcul des fréquences correspondantes aux points S et T

$$\gamma_S^2 = \frac{1}{2 + \beta} \left( 2 - \sqrt{\frac{2\beta}{1 + \beta}} \right)$$

$$\beta = 0,101$$

d'où

$$\gamma_S^2 = 0,748$$

$$\gamma_T^2 = \frac{1}{2 + \beta} \left( 2 + \sqrt{\frac{2\beta}{1 + \beta}} \right)$$

$$\gamma_T^2 = 1,156$$

5.6. Calcul de l'amplitude de vibration aux points S et T

$$\lambda_s = \lambda_T = \frac{m_0 e}{m_1} \frac{2 + \sqrt{\frac{2}{1 + \beta}}}{\beta \left( 1 + \sqrt{\frac{\beta}{1 + \beta}} \right) + \sqrt{\frac{2\beta}{1 + \beta}}}$$

$$\lambda_s = \lambda_T = 25,55 \text{ mm}$$

5.8. Détermination du facteur d'amortissement  $\xi$

Nous avons l'expression de l'amplitude de vibration qui est de la forme :

$$\lambda^2 = \frac{M \xi^2 + N}{P \xi^2 + Q}$$

$$\text{d'où } \xi^2 = \frac{N - \lambda^2 Q}{\lambda^2 P - M}$$

avec M, N, P, Q sont des paramètres qui dépendent de  $(\gamma, \delta, \beta)$ . Puisque les courbes de résonances passent toutes par les mêmes points S et T, donc elles ne dépendent pas de  $\xi$ .

Si nous prenons la valeur de  $\lambda^2$  au point S et  $\gamma_{S0}$ , nous aurons une indétermination qui est logique avec les suppositions faites précédemment dans les chapitres précédents.

D'où nous prenons une valeur de  $\gamma$  légèrement  
supérieure ou inférieure, cela ne change rien à la valeur  
de l'amplitude  $\lambda$ , car nous avons une tangente horizontale .

Nous prenons :

$$\lambda = 25,55 \text{ mm}$$

$$\gamma = 0,89$$

nous trouvons :

$$\beta_1 = 0,23$$

puisque :

$$\beta_1 = \frac{\alpha_1}{2m_2 \omega_1}$$

d'où  $\alpha_1 = 4,01 \text{ kgs/m}$

## CHAPITRE -V-

1. CALCUL DE LA FREQUENCE PROPRE (NATURELLE) D'UNE POUTRE  
 PAR LA METHODE DES ADMETTANCES ET COMPARAISON AVEC LES  
 RESULTATS OBTENUS PAR LA METHODE CLASSIQUE

## 1.1. Introduction

L'utilisation de la methode des admittances pour le calcul des frequences propres est plus complete, elle nous permet de calculer toutes les frequences propres plus exactement .

Par contre la methode classique , elle nous permet le calcul de la premiere frequence propre seulement et avec une valeur approché.

L'utilisation de la methode d'impedance (admettance) donne la possibilité de decomposer un systeme très complexe en subsystemes où l'analyse est déjà plus simple , puis le reconstituer de nouveau pour trouver les reponses aux points prévus pour l'analyse .

## 1.2. Notion d'impedance

On definit l' impedance mecanique  $Z_m$  comme le rapport de la valeur maximale de la force harmonique  $F$  appliqué en un point à la valeur maximale de la reponse  $R$  en ce même point

$$Z_m = \frac{F}{R}$$

L'admettance  $Y_m$  est l'inverse de l'impedance

$$Y_m = \frac{1}{Z_m}$$

La reponse peut etre :

- Un deplacement
- Une vitesse
- Une acceleration

## CALCUL DE LA FREQUENCE PROPRE A LA BASE DE LA METHODE DES IMPULSIONS

### 2.1. Definition

Tout corps soumis à des sollicitations extérieures est susceptible de se déformer, dans cet état apparaissent entre les particules des forces intérieures qui tendent à faire revenir les particules du corps dans la position initiale avant la déformation.

On distingue les déformations élastiques, plastiques. Les principales déformations sont tractions, compressions, cisaillements, torsions et flexions.

Dans notre analyse nous nous intéressons qu'aux déformations élastiques, de flexions.

La flexion consiste en un gauchissement de l'axe de la poutre dont le déplacement (des sections transversales) est décrit par une expression mathématique de la ligne élastique.

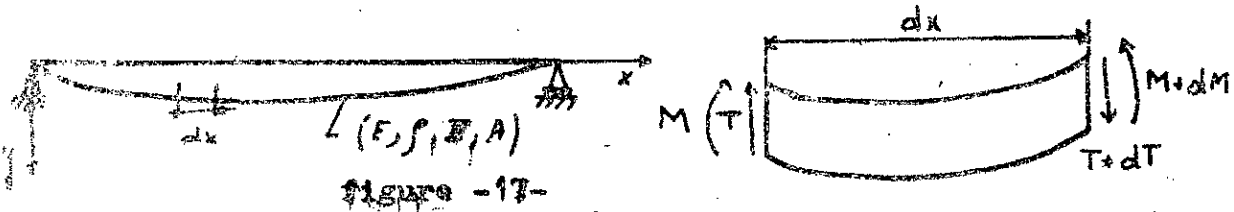
La flexion s'accompagne en même temps d'une rotation des sections transversales autour des axes se trouvant dans le plan des sections.

Pour l'étude des vibrations des poutres, nous supposons que celle ci sont homogènes, isotropes

et travaillant dans le domaine élastique.

### 2.2. Expression de déplacement

Soit une poutre appuyée arbitrairement comme l'indique la figure -17-



L'équation différentielle de déplacement s'obtient sur la base de l'analyse de l'équilibre dynamique d'un élément  $dx$  pris arbitrairement de la poutre en flexion.

$$M = -EI \frac{\partial^2 y}{\partial x^2} \quad \begin{array}{l} M: \text{moment flechissant} \\ y: \text{déplacement} \end{array}$$

$$T = \frac{\partial M}{\partial x} = -EI \frac{\partial^3 y}{\partial x^3} \quad T: \text{effort tranchant}$$

L'équilibre dynamique de  $dx$  est exprimé par

$$T + \frac{\partial T}{\partial x} dx - T = F_i \quad F_i: \text{force d'inertie}$$

$$F_i = dm \frac{d^2 y}{dt^2} = \rho A \frac{\partial^2 y}{\partial t^2} dx$$

$$\frac{\partial T}{\partial x} dx = F_i = \rho A \frac{\partial^2 y}{\partial t^2} dx$$

on a

$$\frac{\partial T}{\partial x} dx = -EI \frac{\partial^4 y}{\partial x^4} dx$$

d'où

$$EI \frac{\partial^4 y}{\partial x^4} + \rho A \frac{\partial^2 y}{\partial t^2} = 0$$



L'équation différentielle de déplacement est :

$$\frac{\partial^4 y}{\partial x^4} + a^2 \frac{\partial^2 y}{\partial x^2} = 0 \quad (29)$$

avec :

$$a^2 = \frac{P A}{E I}$$

E: module de Young

I: moment quadratique de la poutre

Le déplacement  $y$  est de la forme

$$y(x,t) = y(x) \zeta(t)$$

ou  $y(x)$  amplitude de vibration de la poutre

$$\zeta(t) = \frac{b}{\omega} e^{j\omega t}$$

nous remplaçons  $y(x,t)$  dans l'équation (29) nous obtenons:

$$y^{(4)}(x) - q^4 y(x) = 0 \quad (31)$$

$$\ddot{\zeta}(t) + \omega^2 \zeta(t) = 0 \quad (32)$$

$$q^4 = a^2 \omega^2 = \frac{P A}{E I} \omega^2$$

La solution de ces équations (31) et (32) est

$$y(x) = B_1 \sin qx + B_2 \cos qx + B_3 \operatorname{sh} qx + B_4 \operatorname{ch} qx$$

Pour déterminer les constantes  $B_1, B_2, B_3, B_4$ , on se réfère aux conditions au limite, puisque on a une poutre à longueur finie donc quatre (4) conditions aux limites permettant de les déterminer

### 3. METHODE DE ADMETTANCE DEPLACEMENT

L'admettance déplacement étant définie comme le rapport de la valeur maximale de la réponse en un point à la valeur maximale de l'excitation en ce même point.

La reponse peut prendre la forme d'un déplacement harmonique  $y$  ou une rotation harmonique  $\theta$  .  
L'excitation peut prendre la forme d'une force harmonique  $F$  ou la forme d'un moment harmonique  $M$  .

On designe l'admettance déplacement par  $Y_{ij}^o$   
i: designe la position où la reponse est mesurée  
j: designe la localisation de l'excitation 'exterieur.

Dans le cas ou l'excitation est un moment et la reponse une rotation les indices i et j sont munis d'un prime

D'après la regle de reciprocité on a l'egalité

$$Y_{ij}^p = Y_{ji}^p$$

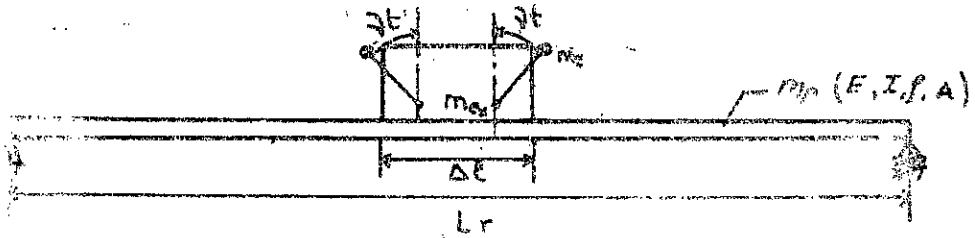
On applique cette methode pour le systeme décrit dans le paragraphe suivant , pour la determination de la fréquence naturelle.

#### 4. DISCREPTION DU SYSTEME MECANIQUE A ETUDIER

Soit une barre uniforme à section rectangulaire  $b \times h$  et de longueur  $L_r$  , est montée sur deux supports fixes , l'un deux permet un déplacement laterale, permettant la vibration transversale de la poutre.

La barre porte en son milieu une charge  $M$ (excitateur) de dimension  $\Delta l$  . Cet excitateur c'est l'origine des excitations harmoniques .

Le système est schématisé par le schéma suivant



Decomposant notre système en trois subsystemes figure 18 -

-Le subsysteme -a- poutre en appuis , articulé-libre, dont l'extrémité libre est sollicitée par l'effort interne  $F_a$  est le moment fléchissant  $M_a$

-Le subsysteme -b- est identique sauf on a  $F_b$  et  $M_b$

-Le subsysteme -c- une masse  $M$  guidée verticalement de façon quelle effectue un mouvement rectiligne , elle est sollicitée par  $F_M$  et  $F(t)$

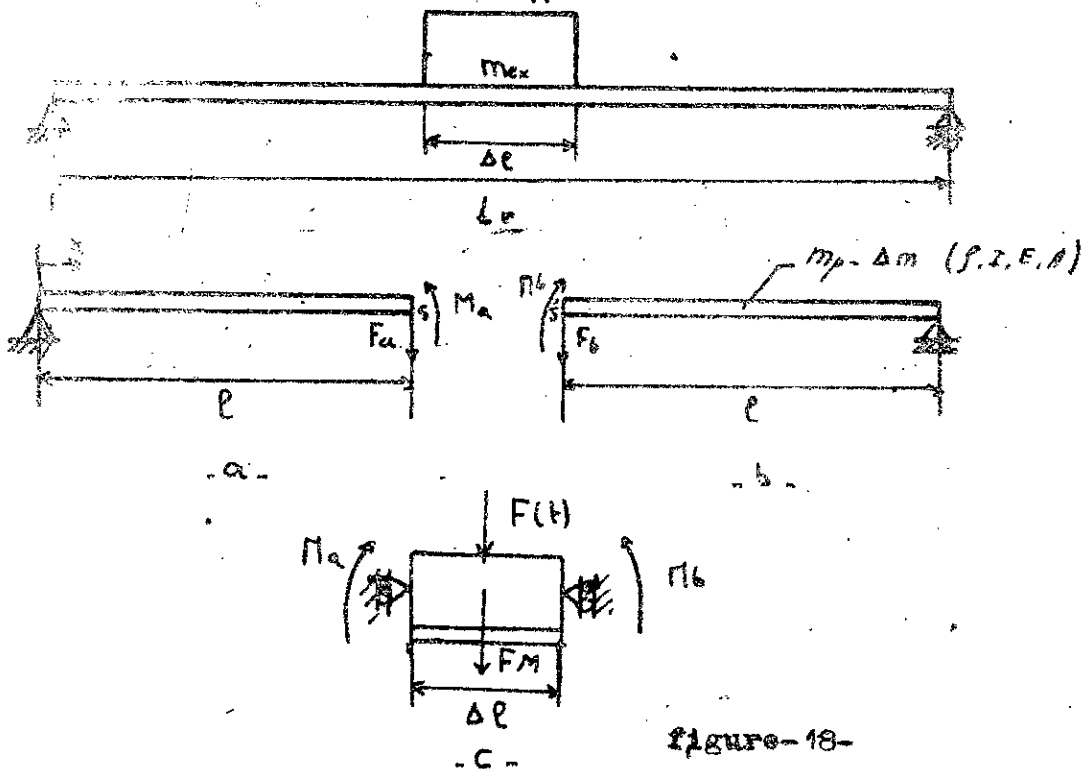


Figure-18-

5. DETERMINATION DE L'ADMETTANCE GLOBALE  $Y_s$ 

$m_{ex}$  = masse de l'excitateur

$m_p$  = masse de poutre (barre)

$\Delta m$  = masse de la partie de la poutre qui n'est pas déformée

$M = m + \Delta m$  : masse en mouvement rectiligne

$$l = \frac{L_r - \Delta l}{2}$$

Les équations des admittances déplacement sont:

$$Y_{as} = F_a Y_{as}^0 + M_a Y_{as}^D \quad (33)$$

$$Y_{bs'} = F_b Y_{bs'}^0 + M_b Y_{bs'}^D \quad (34)$$

$$Y_{ms} = (F + F_M) Y_{ms}^D \quad (35)$$

$$\Theta_{as} = F_a Y_{as}^0 + M_a Y_{as}^D \quad (36)$$

$$\Theta_{bs'} = F_b Y_{bs'}^0 + M_b Y_{bs'}^D \quad (37)$$

$$F_a + F_b + F_M = 0 \quad (38)$$

$$\Theta_{as} = \Theta_{bs'} = 0 \quad (39)$$

$$Y_{as} = Y_{bs'} = Y_{ms} = Y_s \quad (40)$$

$$M_a + M_b = 0 \quad (41)$$

$$Y_{asi}^0 = Y_{bs'i}^0 \quad i = 1, 2, 3, 4 \dots \quad (42)$$

Les équations de (33) à (42) forment un système d'équations

linéaires d'inconnus :  $Y_{as}$  ,  $Y_{bs'}$  ,  $\Theta_{as}$  ,  $\Theta_{bs'}$  ,  $F_a$

$F_b$  ,  $F_M$  ,  $M_a$  ,  $M_b$  :

On s'intéresse à la détermination des fréquences naturelles

ce qui revient au même à déterminer l'impédance du système global.

Après résolution de ce système d'équations on trouve :

$$Y_s = \frac{F Y_{ms}^0 (Y_{as_1}^0 Y_{as_2}^0 - Y_{as_2}^0 Y_{as_1}^0)}{Y_{as_1}^0 Y_{as_2}^0 - Y_{as_1}^0 Y_{as_2}^0 - 2Y_{ms}^0 Y_{as_1}^0}$$

D'après la définition de l'admittance

$$Y_s^0 = \frac{Y_s}{F} = \frac{Y_{ms}^0 (Y_{as_1}^0 Y_{as_2}^0 - Y_{as_2}^0 Y_{as_1}^0)}{Y_{as_1}^0 Y_{as_2}^0 - Y_{as_1}^0 Y_{as_2}^0 - 2Y_{ms}^0 Y_{as_1}^0} \quad (43)$$

### 5.1. Détermination des admittances $Y_{as_1}^0$ , $Y_{ms}^0$

- L'élément M est en mouvement rectiligne son admittance est donné par :

$$Y_{ms}^0 = - \frac{1}{M \omega^2}$$

- Pour l'admittance  $Y_{as_1}^0 = Y_{oc}^0$  due à la force  $F_a$  c'est à dire la réponse est en  $x = 0$  et l'excitation en  $x = 0$

Pour système -a- on a deux extrémités : libre, articulée

- libre en  $x = 0$  -  $y'' = 0$

$$- y''' = - \frac{F_a}{E I}$$

- articulée en  $x = l$  -  $y = 0$

$$- y'' = 0$$

or  $y(x) = B_1 \sin qx + B_2 \cos qx + B_3 \operatorname{sh} qx + B_4 \operatorname{ch} qx$

Avec ces conditions aux limites on détermine  $B_1, B_2, B_3, B_4$ , donc on obtient le déplacement où la réponse est mesurée à la position  $x$  et l'excitation au point  $x = 0$ .

$$y(x) = \frac{F_a \left[ \sin ql \operatorname{sh} ql (\cos qx + \operatorname{ch} qx) + \operatorname{sh} ql \cos ql \sin qx + \sin ql \operatorname{ch} ql \operatorname{sh} qx \right]}{EI q^3 (\cos ql \operatorname{sh} ql - \sin ql \operatorname{ch} ql)} \quad (42)$$

$$Y_{x0}^D = \frac{y(x)}{F_a} = \frac{\sin ql \operatorname{sh} ql (\cos qx + \operatorname{ch} qx) + \operatorname{sh} ql \cos ql \sin qx + \sin ql \operatorname{ch} ql \operatorname{sh} qx}{EI q^3 (\cos ql \operatorname{sh} ql - \sin ql \operatorname{ch} ql)}$$

d'où

$$Y_{as_1}^D = Y_{o0}^D = \frac{2 \sin ql \operatorname{sh} ql}{EI q^3 (\cos ql \operatorname{sh} ql - \sin ql \operatorname{ch} ql)} \quad (45)$$

-Pour les admittances  $Y_{as_1}^D$ ,  $Y_{as_2}^D$

$$\text{Nous avons } Y_{as_1}^D = Y_{as_2}^D = Y_{o'o}^D = Y_{oo'}^D;$$

ces admittances sont dus aux moments harmoniques  $M_a$  et  $M_b$ . Puisque  $M_a = M_b$  donc nous avons les même admittances.

Pour le subsysteme -a- nous avons :

$$\text{extrémité libre en } x = 0 \quad - y'' = - \frac{M_a}{EI}$$

$$- y''' = 0$$

$$\text{extrémité articulée en } x = l \quad - y = 0$$

$$- y'' = 0$$

d'où nous obtenons le déplacement  $y(x)$ :

$$y(x) = \frac{M_a \left[ \operatorname{ch} ql \cos ql \sin qx + \cos qx \operatorname{ch} ql \operatorname{sh} ql + \operatorname{sh} qx \operatorname{ch} ql \cos ql - \operatorname{ch} qx (2 \operatorname{ch} ql \sin ql - \cos ql \operatorname{sh} ql) \right]}{EI q^2 (\cos ql \operatorname{sh} ql - \sin ql \operatorname{ch} ql)}$$

Donc l'admittance déplacement est:

$$Y_{o'o}^D = Y_{oo'}^D = \frac{-(\cos ql \operatorname{sh} ql + \sin ql \operatorname{ch} ql)}{EI q^2 (\cos ql \operatorname{sh} ql - \sin ql \operatorname{ch} ql)} \quad (46)$$

- Pour l'admittance  $Y_{as}^p$ ,

Dans ce cas la réponse a la forme d'une rotation harmonique  
du moment harmonique  $M_a$ .

$$Y_{as}^p = Y_{o'o'}^p = \frac{\frac{\partial y}{\partial x}}{M_a}$$

$$\frac{\partial y(x)}{\partial x} = \frac{M_a [chql \cos ql \cos qx - \sin qx chql \sin ql + chqx chql \cos ql - shqx (2 chql \sin ql + \cos ql shql)]}{EI_q (\cos ql shql - \sin ql chql)}$$

$$Y_{o'o'}^p = \frac{\frac{\partial y}{\partial x}}{M_a} = \frac{2 chql \cos ql}{EI_q (\cos ql shql - \sin ql chql)} \quad (47)$$

Remplaçant l'expressions (45), (46), (47) dans l'expression (43)  
nous obtenons l'admittance global:

$$Y_s^p = \frac{II}{2q^4 [Mql (\cos ql shql - \sin ql chql) + 2m \cos ql chql]}$$

$$\text{avec } q = \left( \frac{P A}{E I} \omega^2 \right)^{1/4}$$

Les fréquences naturelles correspondent à  $Y_s^p = \infty$  donc

$$2q^4 [Mql (\cos ql shql - \sin ql chql) + 2m \cos ql chql] = 0$$

Les premières fréquences naturelles correspondent à  $M = 0$

c'est à dire pas excitation d'ou :

$$\cos ql chql = 0$$

Comme  $chql \neq 0$  donc  $\cos ql = 0$

$$\Rightarrow ql = (2k + 1) \frac{\pi}{2}$$

$$q l = q \frac{L}{2} = (2k + 1) \frac{\pi}{2}$$

$$q = \frac{(2k + 1) \pi}{L}$$

$$\text{et } q = \left( \frac{f A}{EI} \omega^4 \right)^{1/4} \Rightarrow \omega^4 \frac{f A}{EI} = \frac{(2k+1)^4 \pi^4}{L^4}$$

$$\Rightarrow \omega = \frac{(2k+1)^2 \pi^2}{L^2} \cdot \sqrt{\frac{EI}{f A}}$$

$$\omega = \frac{(2k+1)^2 \pi^2}{L^2} \sqrt{\frac{E I L}{m}}$$

La première fréquence naturelle correspond à  $k = 0$

$$\omega_1 = \frac{\pi^2}{L^2} \sqrt{\frac{E I L}{m}}$$

Calcul numérique de cette fréquence

$$g = 980,66 \text{ cm/s}^2$$

$$I = \frac{b \cdot h^3}{12} = 0,1365 \text{ cm}^4$$

$$L = 65 \text{ cm}$$

$$E = 2,109 \cdot 10^6 \text{ kg/cm}^2$$

$$m = m_p + m_{ex} = 3,407 \text{ kg}$$

$$\omega_1 = 171,07 \text{ rad/s}$$

La fréquence calculée par la méthode classique et celle calculée par la méthode des admettances, ont des valeurs très proches. Mais la deuxième méthode est plus exacte, plus complète, car suivant la valeur de  $f k$  nous avons plusieurs fréquences propres, et elle permet la prévision du comportement dynamique et la détermination des propriétés des systèmes. Tandis que la méthode classique est répartie en plusieurs étapes, chacune des étapes étant destinée à la détermination de certaines caractéristiques avec des difficultés de résolution.



DESCRIPTION DES APPAREILLAGE ETULISE POUR  
L'ETUDE DES VIBRATIONS

Une barre uniforme à section transversale rectangulaire  $b \times h$  et de longueur  $L$ . Porte à chacune de ses extrémités un tourillon, l'un des tourillon pivote sur deux roulements à billes montés dans un support fixe, l'autre tourillon porte deux roulements à billes, libre transversalement dans un support fixe, permettant la vibration transversale de la poutre. Les deux supports sont boulonnés sur deux montants opposé d'un portique fixe au sol (table) (voir planche)

La barre en son milieu porte un excitateur, comportant quatre excentriques origine de l'excitation (decrit precedament), alimenté par un moteur électrique à courant continu, et vitesse variable.

La variation de vitesse est commandée ( la determination de cette vitesse est donné dans la partie suivante).

Ainsi on peut avoir une large gamme de vibration forcée de la poutre et de tirer les conclusions qui confirme les resultats établis theoriquement.

MESURE AMPLITUDES DE VIBRATION ET FREQUENCES  
D'EXCITATION

La technique des vibrations forcées permet à l'ingénieur d'apprendre beaucoup plus de choses sur le comportement des matériaux et des assemblages construits en usine .

Des caractéristiques comme la résistance à la fatigue, l'impédance ponctuelle , la transmission des forces , la réponse aux chocs et la forme du mode naturel peuvent être facilement déterminer en mesurant la réponse aux vibrations forcées.

Pour la détermination des amplitudes de vibrations correspondant aux fréquences d'excitation , nous proposons un appareillage électrique comportant :

- Lampe stroboscopique alimenté par un générateur de fréquence pour la détermination des fréquences d'excitation
- Un accéléromètre de mesure placé sous la poutre détectant les déplacement de celle-ci.

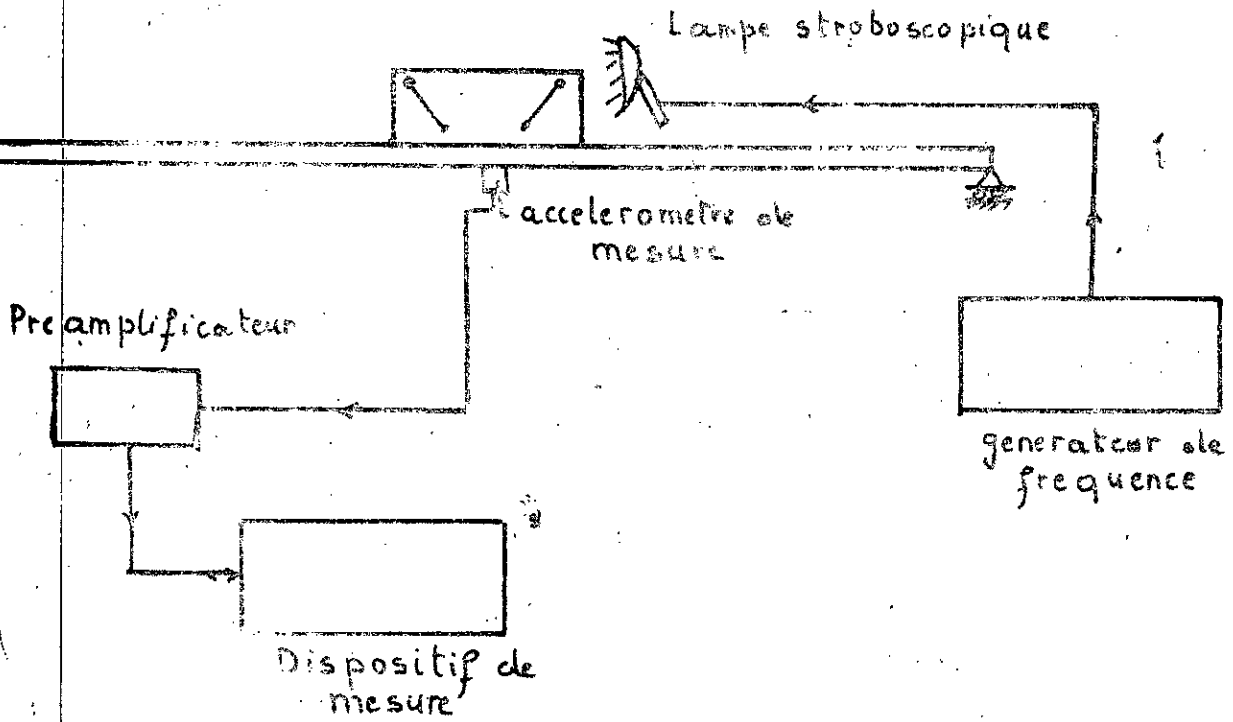
Accéléromètre de mesure est un transducteur électromécanique produit un signal électrique de sortie proportionnelle à l'accélération à laquelle est soumis .

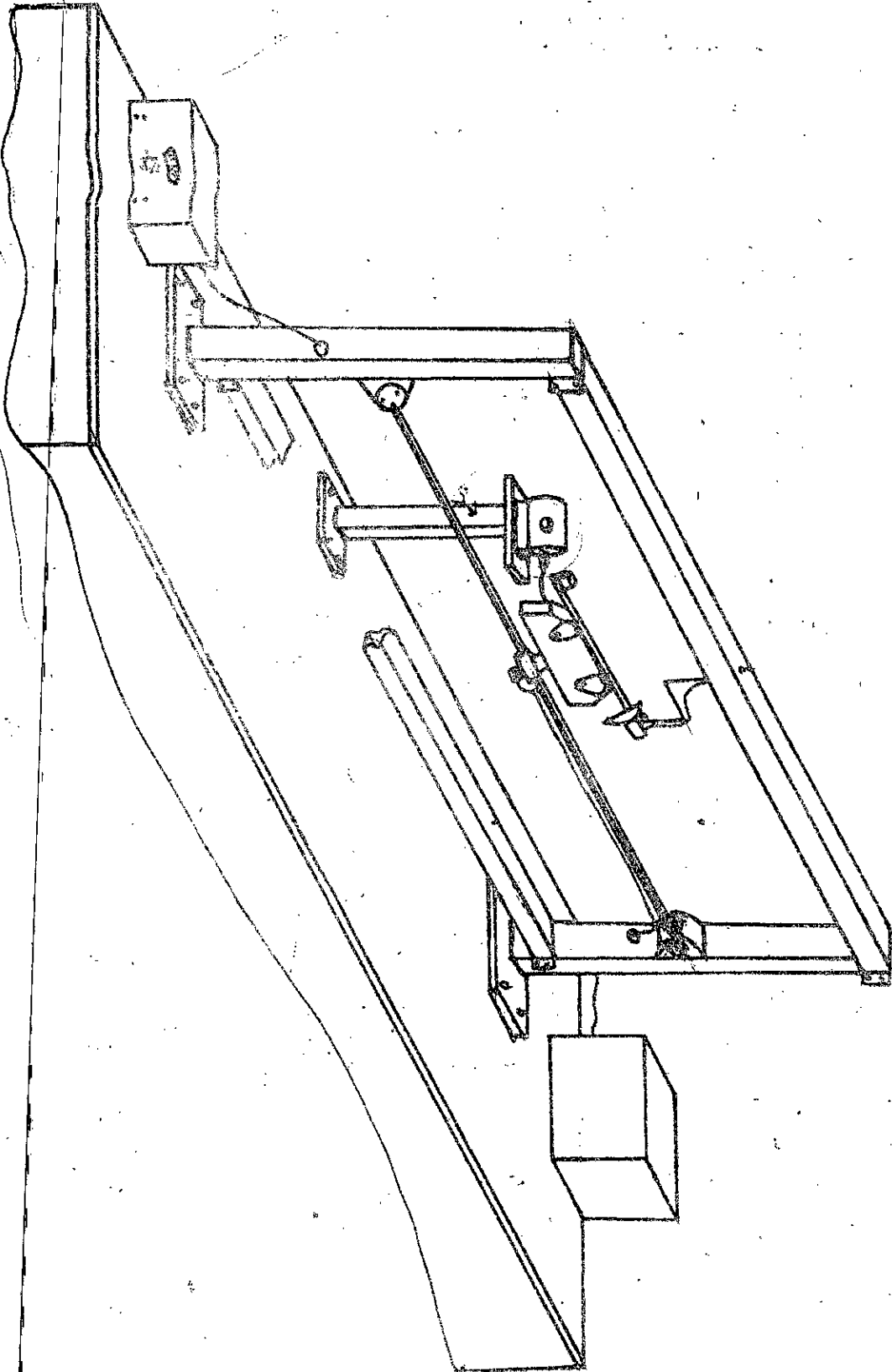
- Pre-amplificateur qui permet de régler la sensibilité des informations reçues par l'accéléromètre à une valeur choisie
- Comportant un intégrateur pour la mesure de vibration et de déplacement (type 2635 B & K )

-Dispositifs de mesure et d'analyse, il peut être soit :

- Un enregistreur de niveau (type 2307 B & K )
- Mesureur de vibration pouvant mesurer les paramètres : accélération, vitesse, déplacement, sur des gammes dynamiques et de fréquences. (type 2511 B & K )
- Oscilloscope

Le schéma synoptique d'un montage pour la mesure des amplitudes de vibrations et fréquences d'excitations est donnée sur la figure suivante.





## CONCLUSION

La théorie des vibrations, est une large branche dans le domaine de la construction mécanique. Nous avons touché qu'une partie de cette théorie des vibrations, qui consiste à éliminer ou atténuer les vibrations nuisibles.

Nous avons fait l'étude théorique d'un absorbeur dynamique de vibration et nous avons établi certaines relations qui nous ont permis de dimensionner l'absorbeur de vibration et de faire le choix compte à son utilisation.

En terminant ce travail, et en mesurant le chemin parcouru depuis la première prise en main de ce sujet, nous pouvons dire qu'une grande étape a été franchie vers la réalisation d'un banc d'essai, puisque nous sommes arrivés à proposer un dispositif pratique (banc d'essai) pour déterminer certains paramètres définissant l'absorbeur qui confirme les résultats obtenus théoriquement.

Nous souhaiterions la continuation de ce travail pour la réalisation du banc d'essai.

## BIBLIOGRAPHIE

ORIENTATION POUR TRAVAIL DE LABORATOIRE DE VIBRATION

Ecole Polytechnique - CRACOVIE POLOGNE  
1977

-S. S. SHENKO Théorie des vibrations  
deuxième édition 1954

-HALLIA Schaum's outline of theory and problems of  
machine design

-TECHNIQUE DE L'INGENIEUR

Isolation antivibratoire et antichocs  
par Jean Morlon - article B 595

-A. H. CHURCH Mechanical vibration

John and Sons, Inc . New York  
New York . Toronto . London 1961

-EQUIPMENT Experiments in vibration  
incorporating the Universal Vibration  
Apparatus , TM 16

TECHNICAL MANUAL October 1975

-BRUEL & KJAER

Catalogue résumé - Instruments de mesure  
pour l'analyse du bruit , des vibrations  
et du signal DANEMARK 1980

-WIBRACJI W . TECHNIKIE

Jdz . MOSKWA 1891

